

870118

# UNIVERSIDAD AUTONOMA DE GUADALAJARA

Incorporada a la Universidad Nacional Autónoma de México

ESCUELA DE CIENCIAS QUIMICAS



TESIS CON  
FALLA DE GRADO

INFLUENCIA DE LA POSICION RADIAL DE LA ALIMENTACION  
EN LA DISTRIBUCION DEL TIEMPO DE RESIDENCIA EN UN  
REACTOR DE MEZCLA CON DEFLECTORES

## TESIS PROFESIONAL

QUE PARA OBTENER EL TITULO DE:

INGENIERO QUIMICO

PRESENTA:

HECTOR FERNANDO BAYONA RAMOS

ASESOR: I.Q. MA. DEL CONSUELO LOPEZ LIMON

GUADALAJARA, JAL.

JUNIO DE 1987



## **UNAM – Dirección General de Bibliotecas Tesis Digitales Restricciones de uso**

### **DERECHOS RESERVADOS © PROHIBIDA SU REPRODUCCIÓN TOTAL O PARCIAL**

Todo el material contenido en esta tesis está protegido por la Ley Federal del Derecho de Autor (LFDA) de los Estados Unidos Mexicanos (México).

El uso de imágenes, fragmentos de videos, y demás material que sea objeto de protección de los derechos de autor, será exclusivamente para fines educativos e informativos y deberá citar la fuente donde la obtuvo mencionando el autor o autores. Cualquier uso distinto como el lucro, reproducción, edición o modificación, será perseguido y sancionado por el respectivo titular de los Derechos de Autor.

## ÍNDICE

	PAG.
INTRODUCCIÓN.	1
SIMBOLOGÍA.	11
CAPÍTULO 1.	
TEORÍA.	1
CAPÍTULO 2.	
DESCRIPCIÓN DEL EQUIPO EMPLEADO.	10
CAPÍTULO 3.	
DESARROLLO EXPERIMENTAL.	14
CAPÍTULO 4.	
RESULTADOS EXPERIMENTALES OBTENIDOS.	17
CAPÍTULO 5.	
COMPARACIÓN CON EL MODELO IDEAL.	42
CONCLUSIONES.	47
BIBLIOGRAFÍA.	48
APÉNDICE I.	
DESCRIPCIÓN DEL EQUIPO EMPLEADO.	50
APÉNDICE II.	
DESARROLLO EXPERIMENTAL.	56
APÉNDICE III.	
CALIBRACIÓN DEL MEDIDOR DE FLUJO.	60
APÉNDICE IV.	
PRUEBA DE KOLMOGOROV-SMIRNOV Y EJEMPLO DE CÁLCULOS REALIZADOS PARA EL TRATAMIENTO ESTADÍSTICO.	64
APÉNDICE V.	
PRUEBA DE INTERVALO DE CONFIANZA PARA LA MEDIA.	75

## **INTRODUCCIÓN**

## INTRODUCCIÓN

El objetivo de este trabajo es determinar la influencia de la posición radial de la alimentación, en un reactor-de mezcla completa con deflectores, con flujo continuo, a partir de la distribución de tiempos de residencia determinados experimentalmente por medio de un trazador no reactivo.

Se usaron deflectores para reforzar las turbulencias de la agitación en el reactor.

El estudio se hace comparando las curvas experimentales promedio que se obtienen en las pruebas, con la curva teórica del modelo de mezcla completa.

Además, se probó estadísticamente la consistencia de datos mediante la prueba de Kolmogorov-Smirnov Bimuestral. Y el ajuste de las curvas se probó usando la prueba de Kolmogorov-Smirnov para funciones de distribución de frecuencias - (Bondad de Ajuste).

Además, se probó la consistencia de la solución utilizada como trazador (violeta de metilo) mediante la prueba de Intervalo de Confianza para la Media.

Se hicieron 8 corridas por duplicado, variando la posición de la alimentación cada 45 grados, en forma radial.

## S I M B O L O G Í A

## SIMBOLOGÍA.

a	: Límite inferior para la prueba de Intervalo - de Confianza para la Media.
AB	: Absorbancia de la réplica 1.
AB'	: Absorbancia de la réplica 2.
Aicons	: Diferencia entre $F(\text{teta})$ y $F(\text{teta})_m$ .
A1'cons	: Diferencia entre $F(\text{teta})'$ y $F(\text{teta})_m$ para la prueba de Consistencia de Datos.
AGMAX	: Desviación máxima entre $F(\text{teta})_m$ y $F(\text{teta})$ para la prueba de Consistencia de Datos.
AG'MAX	: Desviación máxima entre $F(\text{teta})_m$ y $F(\text{teta})'$ para la prueba de Consistencia de Datos.
Abs.pr.	: Absorbancia promedio.
AMAX	: Desviación máxima A1teor. y A2teor. para la prueba de Kolmogorov-Smirnov de Comparación con el Modelo Teórico.
A1teor.	: Desviación para la prueba estadística de Comparación con el Modelo Teórico. $F(\text{teta})_{\text{teo}} - F(\text{teta})_m$
A2teor.	: Desviación para la prueba estadística de Comparación con el Modelo Teórico. $F(\text{teta})_m - F(\text{teta})_{\text{teo}} (t - 1)$
b	: Límite superior para la prueba de Intervalo - de Confianza para la Media.
C, C(t)	: Concentración del trazador, en el tiempo t, - absorbancia.
CF	: Valor estadístico máximo permisible para la -

		prueba de Consistencia de Datos,
$C_F^0$	:	Valor estadístico máximo permisible para la prueba de Comparación con el Modelo Teórico.
E	:	Función de Distribución de Tiempo de Residencia a la salida.
$E_e$	:	Distribución de Tiempo de Residencia, basado en el tiempo adimensional.
$E(\text{teta})$	:	$E_e$ experimental de la réplica 1,
$E(\text{teta})'$	:	$E_e$ experimental de la réplica 2,
$E(\text{teta})_m$	:	$E_e$ experimental promedio de las dos réplicas.
$E(\text{teta})_t$	:	$E_e$ correspondiente al Modelo Teórico de Mezcla Completa.
$F(\text{teta})$	:	Frecuencia acumulada experimental de la réplica 1.
$F(\text{teta})'$	:	Frecuencia acumulada experimental de la réplica 2.
$F(\text{teta})_m$	:	Frecuencia acumulada promedio experimental de las dos réplicas.
$F(\text{teta})_{\text{teo}}$	:	Frecuencia acumulada teórica del Modelo de Mezcla Completa.
N	:	Número total de muestras para el tratamiento estadístico de la prueba de Kolmogorov-Smirnov.
$m, n$	:	Número de muestras para cada réplica para la prueba de Kolmogorov-Smirnov.
$n'$	:	Número de muestras para la prueba de Intervalo de Confianza para la Media.
P	:	Probabilidad de que suceda un evento.
$P(t)$	:	Probabilidad de residencia en el reactor de u-

- na partícula de trazador, en el intervalo de -  
tiempo  $t$  a  $t+dt$ .
- Q : Flujo de agua en ml/s.
- R : Lectura del Rotámetro.
- S : Desviación típica.
- t : Tiempo.
- $t'$  : Valor de una variable aleatoria que sigue la -  
Distribución t de Student.
- teta,  $\theta$  : Medida adimensional,  $\theta = t/\gamma'$ .
- TR : Lectura de la transmisiencia de la réplica 1.
- TR' : Lectura de la transmisiencia de la réplica 2.
- Tao,  $\gamma'$  : Tiempo Espacial,  $\gamma' = V/v_0$ .
- V : Volumen del reactor, l.
- $v_0$  : Caudal, l/min.
- $\alpha$  : Nivel de significancia para la prueba estadística.
- $\lambda$  : Longitud de onda en  $\text{\AA}^0$ .
- $\mu$  : Media poblacional.
- $\bar{x}$  : Media muestral para la prueba de Intervalo de  
Confianza para la Media.

## CAPÍTULO 1

### TEORÍA

## DISTRIBUCIÓN DE TIEMPOS DE RESIDENCIA (D.T.R.).

Existen dos tipos de flujo ideales: en pistón y en mezcla completa. En realidad el comportamiento real de los reactores nunca se ajusta a estas situaciones idealizadas.

Pero en muchos casos se aproxima tanto a estas condiciones, que se puede admitir este comportamiento como ideal, sin incurrir en un error apreciable.

Hay otros casos en que las desviaciones que se originan por formación de canalizaciones del flujo, por recirculación del fluido o por formación de zonas estancadas o muertas en el reactor, son tan grandes, que debe usarse un modelo de flujo más complicado.

En el caso de reactores de tanque agitado, decir que un reactor tiene un flujo ideal, significa que tiene un mezclado perfecto e instantáneo.

Para un reactor tubular, el flujo ideal toma la forma del flujo de pistón.

Se enfocará nuestro estudio en un reactor de mezcla completa. Ello implica que las concentraciones de los reactivos son las mismas en cualquier punto del reactor y, por lo tanto, que el fenómeno cinético es constante en cualquier lugar del mismo, es decir, que las conversiones, al ser función de las concentraciones finales de los reactivos, permanecen invariables para cualquier porción de volumen reaccionante.

Cuando una corriente de material entra a un reactor con un tiempo espacial  $\tau = V/v_0$ , no todas las moléculas residirán ahí exactamente ese tiempo. Debido a las trayectorias-

de flujo causadas por la agitación dentro del tanque, algunas moléculas salen del reactor casi inmediatamente, mientras que otras permanecen en él demasiado tiempo.

Con el fin de conocer el grado de desviación de la idealidad del flujo en el recipiente, basta conocer cuánto tiempo permanece cada una de las moléculas en el recipiente o mejor, conocer su distribución de tiempos de residencia -- (D.T.R.).

Esta información puede determinarse fácilmente por el método experimental estímulo-respuesta, el cual consiste en estimular al sistema mediante una perturbación y ver cómo responde a este estímulo; el análisis de la respuesta nos da información sobre el sistema.

El estímulo comúnmente utilizado en sistemas de flujo homogéneo consiste en la inyección de una sustancia trazadora que pasa a través del reactor, sin intervenir en la reacción.

En este sentido, un trazador se define como aquella sustancia que, además de ser químicamente inerte, no es absorbida por las paredes del reactor y que posee una alta difusividad con relación al flujo global.

Para nuestro estudio se usó como estímulo una inyección de trazador en la corriente de entrada del flujo de agua, en un tiempo  $t=0$  en forma instantánea, la respuesta es la concentración en la corriente de salida del reactor, que puede ser medida.

Si  $C(t)$  es la concentración en un tiempo  $t$ , el número de moléculas que salen entre los tiempos  $t$  y  $t+dt$ , será proporcional a  $C(t) dt$  y el número total para todos los tiempos será  $\int C(t) dt$ .

Por lo tanto, la fracción de moléculas que sale del reactor en el intervalo  $t$  a  $t+dt$  es:

$$P(t) dt = \frac{C(t) dt}{\int C(t) dt} \quad (1-1)$$

Esta fracción  $P(t)$  corresponde a un número  $E$  que representa también la probabilidad de una molécula que reside en el reactor un tiempo entre  $t$  y  $t+dt$ .

Para calcular  $\int C(t) dt$  se tiene la relación:

$$V_{\text{Cpromedio}} = v_0 \int C(t) dt = \text{masa de trazador inyectado.}$$

Despejando  $\int C(t) dt$ , obtenemos lo siguiente:

$$\int C(t) dt = \frac{V_{\text{Cpromedio}}}{v_0} = \tau' \cdot \text{Cpromedio} \quad (1-2)$$

Donde  $\tau'$  se puede calcular y la Cpromedio se determina inyectando un volumen de trazador, igual al utilizado en las corridas experimentales, en un volumen de líquido igual al  $v_0$  volumen del sistema utilizado.

La concentración normalizada es la concentración a un tiempo  $t$ , sobre la integral  $\int C(t) dt$ , en la corriente de salida y representa la esperanza matemática de que un elemento de trazador tenga ese tiempo de permanencia en el reactor.

Esta esperanza se llama  $E$  y representa la distribución de tiempos de residencia del fluido, por lo cual:

$$\int P(t) dt = \int E dt = 1 \quad (1-3)$$

Si se aproxima a elementos finitos:

$$\sum E \Delta t \approx 1 \quad (1-4)$$

Si se mide el tiempo en función del tiempo espacial, dando así un valor adimensional  $\theta$ :

$$\theta = t/\tau' \quad (1-5)$$

Basado en el tiempo adimensional se puede definir el-

D.T.R. de la siguiente manera:

$$\theta, E_\theta = t, E \quad (1-6)$$

Combinándola con la ecuación (1-5), tenemos:

$$E_\theta = E, \gamma \quad (1-7)$$

Esto se puede calcular experimentalmente por medio de la ecuación:

$$E_\theta = AB/\text{Abs.pr.} \quad (1-8)$$

Donde:

AB: Absorbancia en el tiempo  $t$ .

Abs.pr.: Absorbancia promedio o sea la absorbancia que corresponde a la concentración promedio.

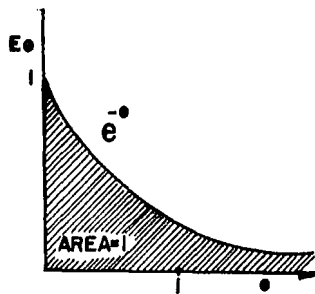
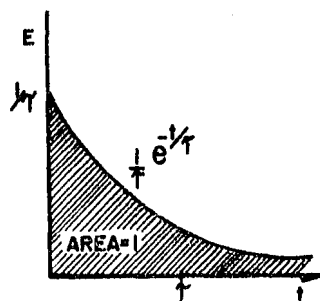


FIG. I-I DISTRIBUCIÓN DEL TIEMPO DE RESIDENCIA EN UN REACTOR DE MEZCLA COMPLETA.

## REQUERIMIENTOS BÁSICOS PARA UN BUEN TRAZADOR.

- I).- Deberá ser miscible y tener propiedades físicas-similares al fluido cuya mezcla está en investigación.
- II).- Deberá ser detectable en pequeñas concentraciones, de tal forma que, al introducirlo al sistema, no dese quilibre el flujo normal.
- III).- La absorbancia del trazador, para cualquier valor dentro del rango usado, debe ser proporcional a la concentración, facilitando la calibración del instrumento.
- IV).- El trazador no debe sufrir absorción o adsorción sobre los sólidos presentes en el reactor, como catalizadores, ni en las paredes del reactor, etc.
- V).- El trazador deberá ser químicamente inerte, en las condiciones en las cuales va a ser usado.

## INTERPRETACIÓN DE LA INFORMACIÓN OBTENIDA DE UN TRAZADOR.

La curva experimental producida por la técnica del trazador, depende del tipo de agitación y mezclado que se emplea en el reactor.

Interpretando la información del trazador es posible concluir si alguno de los siguientes fenómenos ocurre en el reactor estudiado.

I).- ESPACIOS O VOLUMENES MUERTOS: Éstos pueden existir por estancamiento de fluido en ciertas zonas del reactor cercanas a los bordes o esquinas del reactor. Como se muestra en la figura 1-2, la curva  $E\theta$  vs  $\theta$ , muestra una señal que se adelanta en el tiempo debido a un mal diseño del reactor. Cabe aclarar que el área bajo ambas curvas, la ideal y la de volumen muerto es la misma, pero el tiempo promedio es menor en ésta ultima.

II).- BY PASSING (CIRCUITO CORTO): Es el fenómeno que se presenta entre la entrada del reactor y la salida, -- cuando se encuentran muy cerca la una de la otra. Como se muestra en la figura 1-3, la curva  $E\theta$  vs  $\theta$ , el primer pico indica la cantidad de trazador que sale inmediatamente después de que entró al sistema, como consecuencia del circuito corto; la curva es el remanente del material que sale en función del tiempo.

Es importante hacer este análisis de la información del trazador, para construir un buen modelo de flujo.

Se han usado un gran número de técnicas y trazadores para obtener la función de distribución de tiempos de residencia en varios reactores. El tipo de trazador empleado depende

del problema a tratar. Depende si el sistema es gaseoso o líquido, si lleva o no sólido, si el sistema involucra más de dos fases, o si se lleva a cabo una reacción.

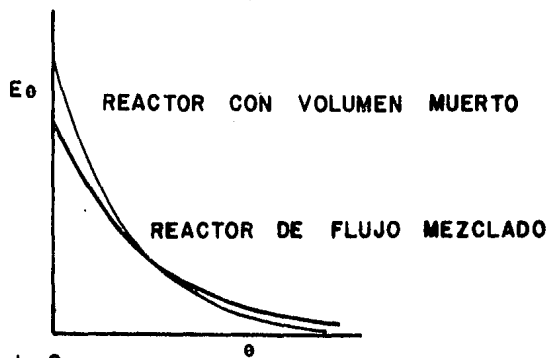


FIG 1-2

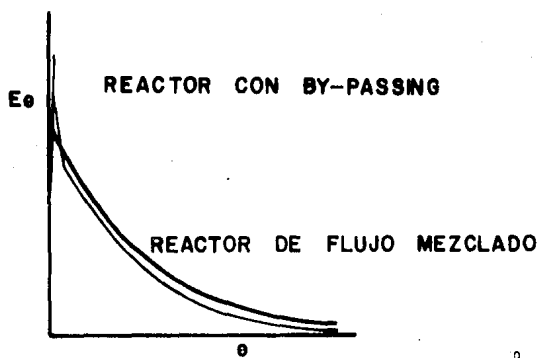


FIG 1-3

## CAPÍTULO 2

### DESCRIPCIÓN DEL EQUIPO EMPLEADO

### DESCRIPCIÓN DEL EQUIPO EMPLEADO.

El equipo utilizado para este estudio es un reactor cilíndrico, de lámina galvanizada.

En el interior del reactor, contiene una estructura de deflectores, que sirven para crear turbulencias.

Dicho reactor contiene dos series de seis casquillos, estos series tienen una separación de 180 grados, figura 2-1, en el segundo casquillo de la parte superior del reactor hacia abajo tiene otra serie de casquillos distribuidos en forma radial con una separación de 45 grados, figura 2-2.

Estas últimas perforaciones se utilizaron como entradas al reactor.

La salida del reactor se encuentra en el tercer casquillo de arriba hacia abajo.

La figura 2-3 muestra un esquema del equipo utilizado.  
Para mayor información ver apéndice I.

FIG 2-I VISTA FRONTAL DEL REACTOR.

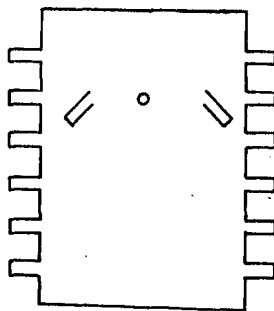
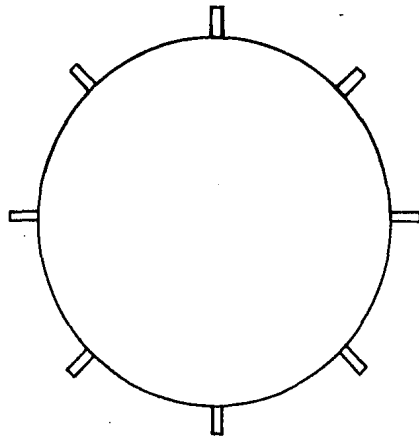


FIG 2-2 VISTA SUPERIOR DEL REACTOR.



DESCRIPCIÓN DE LA FIGURA 2-3.

- 1).- Llave de alimentación de agua hacia el depósito.
- 2).- Manguera alimentadora de agua al depósito.
- 3).- Depósito de alimentación.
- 4).- Medidor de nivel.
- 5).- Orificio de descarga.
- 6).- Corriente de alimentación.
- 7).- Llave de paso para regular el flujo de alimentación.
- 8).- Rotámetro.
- 9).- Jeringa.
- 10).- Reactor.
- 11).- Agitador.
- 12).- Llave reguladora de flujo a la salida del reactor.
- 13).- Corriente de salida.
- 14).- Deflectores.
- 15).- Gradilla de tubos de ensayo.

DIAGRAMA DEL EQUIPO EMPLEADO.

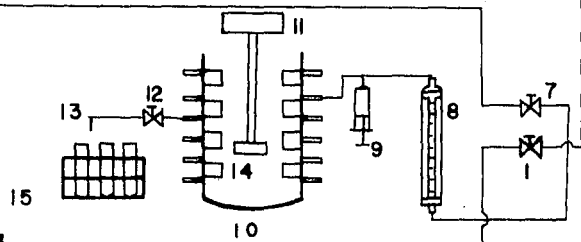
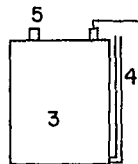


FIG 2-3

CAPÍTULO 3

DESARROLLO EXPERIMENTAL

## DESARROLLO EXPERIMENTAL.

En este estudio se obtiene información de la distribución de tiempos de residencia en un reactor de flujo de mezcla completa con deflectores, mediante el método experimental estímulo-respuesta, el cual consiste en inyectar un colorante (violeta de metilo) al sistema, en forma instantánea y recolectar muestras a la salida del reactor a diferentes tiempos.

Después de haber recolectado las muestras, medir la absorbancia de cada una de ellas, usando el espectofotómetro de Bausch & Lomb (Spectronic 20).

Con estos datos se obtienen las curvas experimentales de  $E\theta$  vs  $\theta$  (promedio) y se comparan con la curva del modelo teórico mediante una prueba estadística.

Los pasos a seguir para las pruebas fueron los siguientes:

- a).- Encontrar la longitud de onda máxima de absorción del violeta de metilo.
- b).- Obtener las gráficas de calibración del espectofotómetro de Bausch & Lomb y del medidor de flujo (Rotámetro)
- c).- Montar el equipo.
- d).- Establecer el flujo de operación y el volumen del reactor.
- e).- Determinar la concentración y la cantidad de trazador que se va a inyectar.
- f).- Calibrar los tubos de ensayo donde se recolectan las muestras.
- g).- Seleccionar la entrada de la alimentación a la que se va a trabajar.

- h).- Inyectar el colorante.
- i).- Colectar las muestras a la salida del reactor, a diferentes tiempos.
- j).- Leer la absorbancia de las muestras en el espectofotómetro.
- k).- Hacer el tratamiento matemático de los datos obtenidos.
- l).- Comprobar la consistencia de los datos obtenidos.
- m).- Comparar las curvas experimentales contra la del modelo teórico.

Se desarrollaron 8 pruebas experimentales, cada una - por duplicado, manteniéndose como parámetros constantes:

- a).- Posición de salida del fluido del reactor.
- b).- Cantidad de trazador inyectado.
- c).- Velocidad de agitación.
- d).- El nivel del fluido en el reactor.
- e).- Posición del agitador.

La variable que se adoptó en este estudio fué la posición de entrada de la alimentación al reactor, la que se hizo en forma radial, teniendo una separación de 45 grados entre - cada posición de entrada.

Las posiciones de entrada fueron las siguientes:

No. DE CORRIDA	POSICION DE LA ALIMENTACION RESPECTO A LA DESCARGA
1	0°
2	45°
3	90°
4	135°
5	180°
6	225°
7	270°
8	315°

Para mayor información ver apéndice II.

## CAPÍTULO 4

### RESULTADOS EXPERIMENTALES OBTENIDOS

## RESULTADOS OBTENIDOS.

Los resultados obtenidos experimentalmente se muestran en las tablas de la 4-1 a 4-8, las cuales contienen lo siguiente:

- N : Número de muestra.  
teta :  $\theta = t / \bar{T}$ , donde  $t$  es el tiempo en que se toma cada muestra y  $\bar{T}$  es el tiempo especial.  
TR : Lectura de trasmittance de la réplica 1.  
TR' : Lectura de trasmittance de la réplica 2.  
AB : Absorbancia de la réplica 1.  
AB' : Absorbancia de la réplica 2.  
 $E(\text{teta})$  : Ee de la réplica 1.  
 $E(\text{teta})'$  : Ee de la réplica 2.  
 $E(\text{teta})_m$  : Ee promedio de las dos réplicas experimentales, para cada  $t$ .  
•  $E(\text{teta})_t$  : Ee correspondiente al modelo teórico de mezcla completa, para cada  $t$ .

En las figuras 4-1 a 4-8, se muestran gráficas de las curvas de Ee vs  $\theta$ , experimental y teórica de cada prueba.

En la abscisa se encuentran los valores de  $\theta$  y en la ordenada los valores de Ee experimentales y teóricos.

En el apéndice IV se presenta un ejemplo de cálculos efectuados para la prueba de 180 grados de la alimentación con respecto a la descarga, así como su tratamiento estadístico.

TABLA 4 - 1

DATOS OBTENIDOS CON UN ÁMBULO DE 0 GRADOS DEL LA ALIMENTACIÓN CON RESPECTO A LA DESODORADA

VOLUMEN 15.16 l. V<sub>a</sub>=0.336.1/min T<sub>ao</sub>=18.1340 min A<sub>ba</sub> pr = 0.8844

N	teta	TR	TR'	AB	AB' E(teta)E(teta')E(teta'')	E(teta)E(teta'')	E(teta'')
1	0.0000	100.0	100.0	.0000	.0000	0.0000	0.0000
2	0.0184	12.1	11.9	0.9172	0.9243	1.0371	1.0433
3	-0.0230	12.5	12.0	-0.9031	0.9208	1.0211	1.0412
4	0.0275	13.0	12.0	0.8861	0.9208	1.0019	1.0412
5	0.0322	13.0	12.1	0.8861	0.9172	1.0019	1.0371
6	-0.0368	13.0	12.0	-0.8861	0.9208	1.0019	1.0412
7	0.0414	13.1	12.3	0.8827	0.9031	0.9981	1.0211
8	0.0460	13.5	12.1	0.8697	0.9172	0.9834	1.0371
9	-0.0506	13.1	13.0	-0.8827	0.8661	0.9981	1.0019
10	0.0551	13.5	12.5	0.8697	0.9031	0.9834	1.0211
11	0.0597	14.0	13.0	0.8539	0.8861	0.9655	1.0019
12	-0.0643	14.0	13.1	-0.8539	0.8827	0.9655	0.9981
13	0.0689	14.0	13.4	0.8539	0.8729	0.9655	0.9870
14	0.0735	14.0	13.5	0.8539	0.8697	0.9655	0.9834
15	-0.0873	14.8	14.0	-0.8297	0.8539	0.9242	0.9655
16	0.0965	15.0	14.0	0.8279	0.8539	0.9316	0.9655
17	0.1057	15.5	14.5	0.8097	0.8386	0.9155	0.9482
18	0.1149	15.5	14.5	-0.8097	-0.8386	0.9155	0.9102
19	0.1241	16.0	15.0	0.7959	0.8239	0.8999	0.9316
20	0.1333	17.0	15.0	0.7696	0.8097	0.8708	0.9155
21	-0.1425	16.5	15.5	-0.7825	-0.8097	0.8848	0.9155
22	0.1316	17.1	16.0	0.7670	0.7959	0.8673	0.8999
23	0.1608	17.5	16.0	0.7570	0.7959	0.8559	0.8999
24	-0.1700	18.0	16.5	-0.7447	-0.7825	0.8420	0.8848
25	0.1792	18.0	16.5	0.7447	0.7825	0.8420	0.8634
26	0.1930	18.5	17.1	0.7328	0.7670	0.8286	0.8673
27	-0.2068	19.0	18.0	-0.7212	-0.7447	0.8155	0.8420
28	0.2206	19.0	18.1	0.7212	0.7423	0.8155	0.8393
29	0.2344	19.5	18.5	0.7100	0.7328	0.8028	0.8286
30	-0.2482	20.5	19.0	-0.6882	-0.7212	0.7782	0.8155
31	0.2619	20.5	19.5	0.6882	0.7100	0.7782	0.8028
32	0.2757	21.0	20.5	0.6778	0.6882	0.7664	0.7782
33	0.2895	22.5	20.3	-0.6478	-0.6925	0.7325	0.7830
34	0.3033	22.0	21.0	0.6576	0.6778	0.7436	0.7664
35	0.3171	22.9	21.5	0.6402	0.6776	0.7239	0.7549
36	-0.3309	22.5	22.3	-0.6478	-0.6512	0.7325	0.7369
37	0.3447	23.5	22.5	0.6289	0.6478	0.7111	0.7325
38	0.3722	24.1	22.0	0.6180	0.6576	0.6968	0.7436
39	-0.3998	25.0	23.1	-0.6081	-0.5364	0.6808	0.7195
						0.7003	0.6703

TABLA 4 - 1  
(CONTINUACIÓN)

N	teta	TR	TR'	AB	AB'	E(teta)	E(teta)' <sup>T</sup>	E(teta)w	E(teta)t
40	0.4274	27.5	24.1	0.5607	0.6180	0.6340	0.5988	0.6664	0.6522
41	0.4549	27.5	25.9	0.5607	0.5867	0.6340	0.6634	0.6487	0.6345
42	0.4025	-28.0	-26.5	-0.5528	-0.5768	-0.6251	0.6532	-0.6387	-0.6172
43	0.5101	28.5	27.0	0.5452	0.5686	0.6163	0.6429	0.6297	0.6004
44	0.5377	29.9	28.0	0.5243	0.5528	0.5928	0.6251	0.6090	0.5841
45	-0.5652	-31.3	-30.5	0.5045	-0.5157	-0.5704	-0.5831	-0.5768	-0.5682
46	0.5926	32.0	31.0	0.4949	0.5086	0.5556	0.5751	0.5674	0.5528
47	0.6204	33.0	32.5	0.4815	0.4881	0.5444	0.5519	0.5482	0.5377
48	-0.6480	-34.0	-33.0	-0.4685	-0.4815	-0.5297	-0.5444	-0.5371	-0.5231
49	0.6755	34.5	33.9	0.4622	0.4698	0.5825	0.5312	0.5269	0.5089
50	0.7307	37.5	36.1	0.4250	0.4425	0.4817	0.5003	0.4910	0.4816
51	0.7858	38.1	38.0	0.4078	0.4202	0.4611	0.4751	0.4681	0.4558
52	0.8410	41.9	40.1	0.3778	0.3969	0.4272	0.4488	0.4380	0.4313
53	-0.8661	-44.0	-42.8	-0.3565	-0.3686	-0.4031	-0.4168	-0.4100	-0.4082
54	0.9513	46.0	44.5	0.3372	0.3516	0.3813	0.3976	0.3895	0.3862
55	1.0064	47.0	47.0	0.3279	0.3279	0.3706	0.3708	0.3708	0.3655
56	-1.0615	-49.0	-48.0	-0.3098	-0.3116	-0.3503	-0.3523	-0.3513	-0.3459
57	1.1167	51.9	51.5	0.2848	0.2882	0.3220	0.3259	0.3240	0.3274
58	1.1718	52.7	52.1	0.2782	0.2832	0.3146	0.3202	0.3174	0.3098
59	-1.2270	-54.0	-54.0	-0.2676	-0.2676	-0.3026	-0.3026	-0.3026	-0.2932
60	1.2821	56.9	55.9	0.2449	0.2526	0.2769	0.2856	0.2813	0.2775
61	1.3373	58.0	57.9	0.2366	0.2373	0.2675	0.2683	0.2679	0.2626
62	-1.3924	-61.1	-59.9	-0.2140	-0.2226	-0.2420	-0.2517	-0.2469	-0.2485
63	1.4476	62.0	61.0	0.2076	0.2147	0.2347	0.2428	0.2388	0.2351
64	1.7233	71.0	69.5	0.1487	0.1580	0.1681	0.1787	0.1734	0.1785
65	-1.9990	-75.5	-76.9	-0.1221	-0.1141	-0.1381	-0.1290	-0.1336	-0.1355
66	2.2747	82.5	82.0	0.0835	0.0862	0.0944	0.0975	0.0960	0.1028
67	2.5505	86.0	86.0	0.0653	0.0655	0.0741	0.0741	0.0741	0.0780
68	-2.8262	-88.5	-89.9	-0.0531	-0.0462	-0.0600	-0.0522	-0.0561	-0.0532
69	3.1019	91.5	92.0	0.0386	0.0362	0.0436	0.0409	0.0423	0.0450
70	3.3776	93.9	93.5	0.0273	0.0292	0.0309	0.0330	0.0320	0.0341
71	-3.6534	-95.0	-95.1	-0.0223	-0.0218	-0.0252	-0.0246	-0.0249	-0.0259
72	3.9291	96.0	96.5	0.0177	0.0153	0.0200	0.0175	0.0188	0.0197
73	4.2048	97.0	97.5	0.0132	0.0110	0.0143	0.0124	0.0137	0.0149
74	-4.4805	-97.5	-97.8	-0.0110	-0.0097	-0.0124	-0.0110	-0.0117	-0.0113
75	4.7563	98.0	98.1	0.0068	0.0083	0.0100	0.0094	0.0097	0.0086
76	5.0320	98.0	98.5	0.0068	0.0066	0.0100	0.0075	0.0088	0.0065

TABLA 4 - 2

DATOS OBTENIDOS CON UN RÍGULU DE 45 GRADOS DEL LA ALIMENTACIÓN CON RESPECTO A LA DESCARBA

VOLUMEN 15.16.1 Volumen 0.636 l/min. Tiempo 18.1340 min. Abs. pres. 0.0044

N°	tela	TR	TR <sup>2</sup>	AB	AB <sup>2</sup>	E(total)	E(tota)' <sup>2</sup>	E(tota)n	E(totalt)
1	0.0000	99.5	100.0	0.0002	.0000	0.0000	0.0000	0.0000	1.0000
2	0.0164	11.5	11.0	0.3083	0.9000	1.0621	1.0839	1.0730	0.9818
3	0.0230	12.0	11.5	0.3000	0.9093	1.0412	1.0521	1.0517	0.9723
4	0.0276	12.1	11.5	0.3172	0.9393	1.0371	1.0521	1.0496	0.9728
5	0.0322	12.5	11.8	0.3031	0.9281	1.0211	1.0494	1.0353	0.9683
6	0.0368	12.5	12.0	0.3031	0.9208	1.0211	1.0412	1.0312	0.9673
7	0.0414	12.5	12.0	0.3031	0.9208	1.0211	1.0412	1.0312	0.9594
8	0.0460	13.0	12.1	0.3061	0.9172	1.0019	1.0371	1.0193	0.9580
9	0.0506	13.5	12.5	0.3097	0.9031	0.9838	1.0011	1.0023	0.9407
10	0.0551	13.5	12.5	0.3097	0.9031	0.9834	1.0211	1.0023	0.9464
11	0.0597	13.9	12.5	0.3070	0.9031	0.9620	1.0211	0.9551	0.9429
12	0.0643	13.5	12.5	0.3097	0.9031	0.9834	1.0211	1.0023	0.9377
13	0.0688	13.5	12.5	0.3097	0.9031	0.9834	1.0211	1.0023	0.9304
14	0.0734	14.1	13.0	0.3004	0.8861	0.9620	1.0019	0.9820	0.8949
15	0.0781	14.1	13.5	0.3000	0.8697	0.9520	0.9838	0.9727	0.9164
16	0.0827	14.1	13.5	0.3000	0.8697	0.9520	0.9838	0.9727	0.9164
17	0.0863	14.5	13.5	0.3086	0.8697	0.9462	0.9834	0.9658	0.9080
18	0.1007	15.0	14.5	0.3239	0.8386	0.9316	0.9482	0.9199	0.8997
19	0.1143	15.5	14.5	0.3097	0.8386	0.9153	0.9482	0.9319	0.8515
20	0.1241	15.5	14.9	0.3097	0.8208	0.9135	0.9349	0.9252	0.8833
21	0.1333	15.5	14.9	0.3097	0.8097	0.9135	0.9349	0.9252	0.8792
22	0.1425	16.3	15.1	0.2878	0.8208	0.8808	0.9083	0.9056	0.8672
23	0.1516	16.0	15.0	0.7939	0.8239	0.8999	0.9316	0.9158	0.8933
24	0.1608	16.9	15.5	0.7721	0.8057	0.8730	0.9135	0.8943	0.8515
25	0.1700	17.0	16.0	0.7696	0.7939	0.8702	0.8933	0.8851	0.8437
26	0.1792	17.0	16.1	0.7696	0.7932	0.8702	0.8933	0.8836	0.8399
27	0.1930	17.9	16.0	0.7471	0.7939	0.8448	0.8999	0.8749	0.8845
28	0.2044	18.2	17.0	0.7209	0.7645	0.8266	0.8708	0.8534	0.8129
29	0.2206	18.5	17.5	0.7328	0.7570	0.8886	0.8839	0.8483	0.8080
30	0.2344	19.1	18.0	0.7190	0.7447	0.8130	0.8420	0.8273	0.7910
31	0.2482	19.5	18.2	0.7100	0.7389	0.8038	0.8266	0.8197	0.7802
32	0.2619	20.3	19.5	0.6862	0.7100	0.7782	0.8039	0.7905	0.7656
33	0.2757	21.0	19.5	0.6779	0.7100	0.7654	0.8029	0.7846	0.7590
34	0.2895	21.5	19.8	0.6676	0.7032	0.7540	0.7938	0.7751	0.7485
35	0.3033	22.0	21.0	0.6576	0.6778	0.7436	0.7664	0.7530	0.7384
36	0.3171	22.1	21.1	0.6556	0.6757	0.7413	0.7640	0.7527	0.7283
37	0.3309	22.5	21.5	0.6478	0.6576	0.7325	0.7458	0.7392	0.7183
38	0.3447	23.5	22.0	0.6289	0.6576	0.7111	0.7436	0.7274	0.7084
39	0.3582	24.1	23.5	0.6180	0.6289	0.6988	0.7111	0.7050	0.6892
40	0.3700	25.1	24.0	0.6003	0.6198	0.6788	0.7008	0.6898	0.6705

TABLA 4 - 2  
(CONTINUACIÓN)

N	tata	TR	TP	AB	AB <sup>2</sup>	E(tata)	E(tata) <sup>2</sup>	E(tata)E(AB)
40	-0.4274	26.0	26.0	0.5850	0.5850	0.6615	0.6615	0.6522
41	-0.4549	27.1	26.1	0.5570	0.5834	0.6411	0.6597	0.6304
42	-0.4625	26.5	27.0	0.5452	0.5686	0.6165	0.6489	0.6172
43	0.3901	29.0	29.0	0.5376	0.5376	0.6079	0.6079	0.5604
44	0.3377	31.0	29.0	0.5086	0.5376	0.5751	0.6079	0.5641
45	0.3638	31.0	30.0	0.5086	0.5229	0.5751	0.5912	0.5582
46	0.3928	33.0	31.0	0.4815	0.5086	0.5444	0.5751	0.5528
47	0.5204	33.5	31.8	0.4750	0.4976	0.5371	0.5626	0.5499
48	0.6480	34.0	33.0	0.4685	0.4815	0.5297	0.5444	0.5231
49	0.6735	35.1	34.0	0.4547	0.4628	0.5141	0.5297	0.5089
50	0.7207	37.0	36.1	0.4318	0.4429	0.4992	0.5003	0.4943
51	0.7638	39.5	39.1	0.4034	0.4078	0.4881	0.4611	0.4686
52	0.8410	41.5	40.1	0.3820	0.3969	0.4319	0.4488	0.4404
53	0.8861	43.7	42.0	0.3695	0.3764	0.4063	0.4051	0.4162
54	0.9512	46.5	44.0	0.3425	0.3563	0.3760	0.4031	0.3862
55	1.0064	48.0	46.5	0.3188	0.3325	0.3605	0.3760	0.3683
56	1.0518	49.0	48.0	0.3098	0.3166	0.3902	0.3605	0.3454
57	1.1187	51.0	50.1	0.2954	0.3002	0.3308	0.3574	0.3350
58	1.1718	52.5	52.0	0.2798	0.2940	0.3164	0.3211	0.3108
59	1.2079	55.0	54.0	0.2695	0.2836	0.3038	0.3082	0.2932
60	1.2221	56.0	55.0	0.2518	0.2518	0.2847	0.2847	0.2773
61	1.2372	58.0	57.1	0.2366	0.2434	0.2675	0.2752	0.2714
62	1.2504	61.0	58.8	0.2147	0.2259	0.2428	0.2620	0.2314
63	1.2476	61.5	61.0	0.2111	0.2147	0.2387	0.2428	0.2408
64	1.7233	70.5	69.0	0.1518	0.1612	0.1716	0.1823	0.1770
65	1.3590	76.1	74.1	0.1185	0.1302	0.1241	0.1472	0.1407
66	2.2747	82.9	80.9	0.0814	0.0921	0.0920	0.1041	0.0981
67	2.3505	86.5	85.0	0.0530	0.0706	0.0712	0.0798	0.0735
68	2.0262	84.9	84.9	0.0511	0.0511	0.0578	0.0578	0.0592
69	3.1019	91.9	91.5	0.0367	0.0386	0.0413	0.0436	0.0426
70	3.3776	93.9	92.0	0.0273	0.0315	0.0309	0.0356	0.0333
71	3.6534	95.5	93.0	0.0000	0.0283	0.0285	0.0239	0.0259
72	3.9291	96.5	95.5	0.0137	0.0153	0.0155	0.0175	0.0165
73	4.2048	97.5	97.0	0.0110	0.0132	0.0124	0.0149	0.0137
74	4.4803	97.9	97.5	0.0082	0.0110	0.0104	0.0124	0.0114
75	4.7563	98.1	98.0	0.0083	0.0088	0.0094	0.0109	0.0097
76	5.0320	99.0	98.5	0.0044	0.0066	0.0050	0.0075	0.0063

TABLA 4 - 3

DATOS OBTENIDOS CON UN ÁNGULO DE 90 GRADOS DEL LA ALIMENTACIÓN CON RESPECTO A LA DESCARGA

VOLÚMEN = 15.16 l. Visc 0.836 l/min. Tac = 18.1340 min. Pdm. pr. 0.8644

N	teta	TR	TR'	AB	AB'	E(teta)	E(teta)'	E(teta)m	E(teta)t
1	0.0000	100.0	100.0	.0000	.0000	0.0000	0.0000	0.0000	1.0000
2	0.0164	12.3	12.5	0.9101	0.9031	1.0291	1.0211	1.0251	0.9818
3	0.0330	12.0	12.5	0.9208	0.9031	1.0412	1.0211	1.0312	0.9773
4	0.0275	12.5	13.1	0.9031	0.8827	1.0211	0.9981	1.0096	0.9728
5	0.0322	12.1	13.2	0.9172	0.8794	1.0371	0.9943	1.0157	0.9683
6	0.0368	12.0	13.2	0.9208	0.8794	1.0412	0.9943	1.0178	0.9679
7	0.0414	12.8	13.5	0.8988	0.8697	1.0093	0.9834	0.9865	0.9594
8	0.0460	13.0	13.5	0.8861	0.8697	1.0019	0.9834	0.9887	0.9550
9	0.0505	13.0	13.5	0.8861	0.8537	1.0019	0.9834	0.9827	0.9507
10	0.0551	13.0	13.1	0.8861	0.8827	1.0019	0.9981	1.0000	0.9464
11	0.0537	13.1	14.1	0.8827	0.8508	0.9981	0.9620	0.9801	0.9420
12	0.0643	14.3	14.5	0.8447	0.8386	0.9511	0.9482	0.9517	0.9377
13	0.0689	14.0	14.5	0.8539	0.8386	0.9653	0.9482	0.9569	0.9334
14	0.0781	14.5	15.0	0.8386	0.8279	0.9482	0.9316	0.9399	0.9249
15	0.0873	14.0	15.5	0.8539	0.8097	0.9553	0.9155	0.9405	0.9164
16	0.0965	14.3	15.5	0.8386	0.8097	0.9482	0.9155	0.9319	0.9080
17	0.1057	14.5	15.5	0.8386	0.8097	0.9482	0.9155	0.9319	0.8997
18	0.1149	15.0	15.5	0.8279	0.8097	0.9316	0.9155	0.9236	0.8915
19	0.1241	15.5	16.1	0.8097	0.7932	0.9155	0.8769	0.9062	0.8833
20	0.1333	15.9	16.3	0.7932	0.7825	0.9030	0.8648	0.8939	0.8702
21	0.1425	16.0	16.8	0.7932	0.7787	0.8958	0.8750	0.8868	0.8572
22	0.1516	16.0	16.9	0.7932	0.7721	0.8933	0.8730	0.8865	0.8593
23	0.1608	17.0	17.1	0.7636	0.7670	0.8702	0.8573	0.8688	0.8515
24	0.1700	15.5	18.0	0.7825	0.7447	0.8848	0.8420	0.8574	0.8437
25	0.1792	17.0	18.0	0.7636	0.7447	0.8702	0.8420	0.8561	0.8399
26	0.1930	18.1	18.5	0.7423	0.7328	0.8393	0.8206	0.8340	0.8045
27	0.2054	18.5	19.0	0.7328	0.7212	0.8296	0.8153	0.8221	0.8139
28	0.2206	18.3	19.5	0.7328	0.7100	0.8286	0.8028	0.8157	0.8020
29	0.2344	19.0	20.0	0.7212	0.6930	0.8153	0.7901	0.8030	0.7910
30	0.2482	19.5	21.0	0.7100	0.6778	0.8028	0.7664	0.7846	0.7808
31	0.2619	19.5	21.5	0.7100	0.6575	0.8028	0.7549	0.7789	0.7696
32	0.2757	20.5	21.5	0.6862	0.6575	0.7782	0.7549	0.7656	0.7590
33	0.2895	21.1	22.2	0.6737	0.6536	0.7640	0.7390	0.7515	0.7406
34	0.3033	21.1	23.0	0.6737	0.6383	0.7640	0.7217	0.7429	0.7384
35	0.3171	22.0	22.9	0.6576	0.6402	0.7436	0.7233	0.7338	0.7283
36	0.3309	22.5	23.1	0.6478	0.6354	0.7323	0.7196	0.7261	0.7183
37	0.3447	22.9	23.5	0.6102	0.6209	0.7239	0.7111	0.7175	0.7084
38	0.3722	23.9	24.3	0.6216	0.6101	0.7028	0.6506	0.6967	0.6892
39	0.3998	23.2	25.5	0.5935	0.5925	0.6763	0.6711	0.6740	0.6705

TABLA 4 - 3  
(CONTINUACIÓN)

N	teta	TR	TR'	AB	AB'	E(teta)	E(teta')	E(teta)'
40	0.4274	23.5	25.5	0.5393	0.5768	0.5711	0.6322	0.5617
41	0.4549	25.7	27.7	0.5735	0.5375	0.6485	0.6304	0.6395
42	0.4923	28.0	29.0	0.5238	0.5376	0.5291	0.6079	0.5165
43	0.5101	28.9	29.9	0.5391	0.5376	0.5038	0.6079	0.5004
44	0.5377	29.5	29.9	0.5302	0.5843	0.5933	0.5928	0.5841
45	0.5652	30.5	31.5	0.5157	0.5017	0.5831	0.5573	0.5582
46	0.5928	31.5	33.0	0.5017	0.4815	0.5673	0.5444	0.5559
47	0.6204	32.5	33.1	0.4881	0.4802	0.5519	0.5430	0.5377
48	0.6480	33.0	34.1	0.4815	0.4672	0.5444	0.5283	0.5231
49	0.6752	34.5	36.0	0.4622	0.4427	0.5225	0.5017	0.5168
50	0.7027	37.0	37.8	0.4460	0.4119	0.4817	0.4682	0.4815
51	0.7300	40.0	40.5	0.3879	0.3659	0.4495	0.4468	0.4494
52	0.7410	41.5	41.1	0.3860	0.3662	0.4319	0.4287	0.4343
53	0.7561	43.0	44.2	0.3853	0.3546	0.4184	0.4059	0.4077
54	0.7613	44.0	46.5	0.3565	0.3325	0.4031	0.3760	0.3862
55	1.0064	47.0	47.0	0.3279	0.3279	0.3708	0.3708	0.3655
56	1.0615	48.1	49.0	0.3172	0.3028	0.3595	0.3503	0.3459
57	1.1157	50.1	51.1	0.2602	0.2516	0.3004	0.2857	0.3046
58	1.1718	53.0	54.0	0.2757	0.2676	0.3317	0.3085	0.3072
59	1.2070	54.5	54.5	0.2635	0.2531	0.2961	0.2961	0.2932
60	1.2821	56.9	57.1	0.2449	0.2434	0.2769	0.2752	0.2761
61	1.3173	58.0	58.0	0.2366	0.2366	0.2575	0.2573	0.2575
62	1.3984	59.2	60.1	0.2277	0.2211	0.2575	0.2500	0.2495
63	1.4476	61.1	62.7	0.2140	0.2027	0.2428	0.2272	0.2231
64	1.7233	69.0	70.0	0.1812	0.1949	0.1862	0.1751	0.1785
65	1.9970	75.5	76.0	0.1801	0.1152	0.1204	0.1205	0.1205
66	2.2747	82.0	81.1	0.0862	0.0910	0.0975	0.1029	0.1002
67	2.3505	86.0	85.5	0.0635	0.0680	0.0741	0.0769	0.0735
68	2.4262	86.5	86.5	0.0531	0.0531	0.0600	0.0600	0.0592
69	2.5019	91.1	91.5	0.0465	0.0386	0.0438	0.0426	0.0447
70	2.5776	93.0	93.5	0.0315	0.0292	0.0336	0.0330	0.0343
71	2.6534	94.0	94.5	0.0228	0.0244	0.0362	0.0378	0.0379
72	3.2921	95.5	96.0	0.0200	0.0177	0.0226	0.0200	0.0213
73	4.2046	97.0	97.0	0.0132	0.0132	0.0149	0.0149	0.0149
74	4.4905	97.5	97.5	0.0110	0.0110	0.0124	0.0124	0.0124
75	4.7563	98.0	98.0	0.0085	0.0088	0.0108	0.0108	0.0108
76	5.0320	99.0	99.5	0.0044	0.0022	0.0030	0.0023	0.0028

TABLA 4 - 4

DATOS OBTENIDOS CON UN ÁNGULO DE 135° GRADOS DEL LA ALIMENTACIÓN CON RESPECTO A LA DESCARGA

VOLUMEN	15.16.1	Hora 0.036 l/min	Tiempo 18.1340 min	Rta. gr. 0.0000					
N	tata	TR	TR'	AB	AB'	E(tata)	E(tata)' <sup>1</sup>	E(tata)' <sup>2</sup>	E(tata)' <sup>3</sup>
1	0.0000	99.9	100.0	0.0004	.0000	0.0000	0.0000	0.0000	1.0000
2	0.0184	12.0	11.5	0.9808	0.9393	1.0412	1.0621	1.0517	0.9818
3	-0.0230	-11.5	-11.5	0.9393	-0.9393	-1.0621	-1.0621	-1.0517	-0.9771
4	0.0276	12.0	11.5	0.9808	0.9393	1.0412	1.0621	1.0517	0.9728
5	0.0322	12.5	12.0	0.9031	0.9808	1.0211	1.0412	1.0312	0.9683
6	-0.0368	-12.5	-12.0	0.9031	-0.9208	-1.0211	-1.0412	-1.0312	-0.9639
7	0.0416	12.5	12.5	0.9031	0.9031	1.0811	1.0811	1.0811	0.9594
8	0.0460	12.5	12.5	0.9031	0.8894	1.0811	1.0057	1.0134	0.9594
9	-0.0506	-12.5	-12.5	0.8894	-0.8761	-1.0855	-0.9306	-1.0801	-0.9502
10	0.0551	12.5	13.0	0.9031	0.8861	1.0211	1.0019	1.0115	0.9464
11	0.0597	13.0	13.0	0.8861	0.8861	1.0019	1.0019	1.0019	0.9420
12	-0.0643	-13.0	-13.1	0.8861	-0.8827	-1.0019	-0.9981	-1.0000	-0.9377
13	0.0689	13.0	13.1	0.8861	0.8887	1.0019	0.9981	1.0000	0.9334
14	0.0781	13.5	12.5	0.8697	0.8697	0.9834	0.9834	0.9834	0.9249
15	-0.0873	-14.0	-14.0	0.8639	-0.8339	-0.9535	-0.9535	-0.9535	-0.9164
16	0.0963	14.0	14.0	0.8539	0.8539	0.9635	0.9635	0.9635	0.9040
17	0.1057	14.1	14.5	0.8508	0.8346	0.9520	0.9482	0.9351	0.8997
18	-0.1149	-14.5	-14.9	0.8508	-0.8256	-0.9349	-0.9349	-0.9349	-0.8915
19	0.1241	15.0	15.0	0.8229	0.8229	0.9316	0.9316	0.9316	0.8833
20	0.1339	15.5	15.5	0.8097	0.7986	0.9156	0.9030	0.9030	0.8798
21	-0.1425	-15.5	-15.0	0.8097	-0.7859	-0.9155	-0.8999	-0.9073	-0.8678
22	0.1516	15.5	16.3	0.7986	0.7878	0.9030	0.8908	0.8969	0.8593
23	0.1608	16.0	16.3	0.7959	0.7721	0.8959	0.8730	0.8665	0.8515
24	-0.1700	-16.5	-16.3	0.7823	-0.7823	-0.8848	-0.8648	-0.8648	-0.8437
25	0.1792	16.5	17.0	0.7823	0.7695	0.8848	0.8702	0.8773	0.8339
26	0.1930	17.0	18.0	0.7695	0.7447	0.8702	0.8420	0.8561	0.8245
27	-0.2058	-17.5	-18.0	0.7570	-0.7447	-0.8538	-0.8420	-0.8490	-0.8128
28	0.2206	18.0	18.5	0.7447	0.7228	0.8420	0.8206	0.8353	0.8080
29	-0.2344	-18.0	-18.5	0.7447	-0.7235	-0.8420	-0.8181	-0.8301	-0.7910
30	-0.2482	-18.5	-19.5	0.7228	-0.7100	-0.8206	-0.8028	-0.8157	-0.7802
31	0.2619	19.0	20.0	0.7212	0.6990	0.8155	0.7904	0.8030	0.7798
32	0.2757	19.5	20.1	0.7100	0.6968	0.8028	0.7879	0.7934	0.7790
33	-0.2895	-20.0	-20.5	0.6990	-0.6882	-0.7804	-0.7782	-0.7843	-0.7466
34	0.3033	20.0	21.5	0.6990	0.6678	0.7904	0.7549	0.7727	0.7384
35	0.3171	21.0	21.5	0.6778	0.6678	0.7664	0.7549	0.7607	0.7283
36	-0.3309	-21.0	-22.0	0.6778	-0.6576	-0.7654	-0.7436	-0.7550	-0.7182
37	0.3447	21.5	22.1	0.6576	0.6336	0.7549	0.7413	0.7481	0.7084
38	0.3722	23.0	23.5	0.6021	0.6289	0.6808	0.7111	0.6950	0.6892
39	-0.3999	-23.0	-24.5	0.6021	-0.6108	-0.6808	-0.6906	-0.6957	-0.6705

TABLA 4 - 4  
(CONTINUACIÓN)

N	teta	TR	TM	AB	AB' E(teta)	E(teta)'E(teta)w	E(teta)l
40	0.4274	25.0	25.3	0.6021	0.5959	0.6808	0.5749
41	0.4543	27.1	26.5	0.5670	0.5768	0.6411	0.6322
42	0.4823	28.0	28.0	0.5288	0.5320	0.6251	0.6251
43	0.5101	27.9	28.0	0.5344	0.5320	0.6269	0.6231
44	0.5377	29.0	29.5	0.5376	0.5392	0.6079	0.5993
45	0.5652	31.0	31.8	0.5085	-0.4962	0.5731	0.5641
46	0.5928	31.0	32.5	0.5086	0.4881	0.5731	0.5519
47	0.6204	33.0	32.5	0.4615	0.4881	0.5444	0.5519
48	0.6480	34.0	34.0	0.4685	0.4585	0.5297	0.5297
49	0.6755	35.3	34.9	0.4522	0.4572	0.5113	0.5170
50	0.7307	36.0	37.3	0.4477	0.4203	0.5017	0.4943
51	0.7839	38.0	39.0	0.4202	0.4069	0.4751	0.4623
52	0.8410	40.5	41.0	0.3923	0.3872	0.4438	0.4378
53	0.8961	43.5	43.0	-0.3618	-0.3665	-0.4008	-0.4144
54	0.9513	44.0	47.0	0.3565	0.3279	0.4031	0.3708
55	1.0064	47.3	48.0	0.3251	0.3180	0.3676	0.3605
56	1.0616	49.9	51.0	0.2019	0.2024	-0.3414	-0.3306
57	1.1167	50.0	52.5	0.3010	0.2798	0.3403	0.3164
58	1.1718	53.5	52.5	0.2715	0.2715	0.3071	0.3071
59	1.2270	55.1	56.1	0.2998	0.3010	0.3938	0.3838
60	1.2821	56.0	58.0	0.2518	0.2366	0.2847	0.2673
61	1.3373	57.5	58.9	0.2403	0.2299	0.2717	0.2600
62	1.3924	59.5	60.2	0.2885	0.2804	0.2650	0.2498
63	1.4475	62.1	62.5	0.2069	0.2041	0.2339	0.2308
64	1.7233	70.0	69.9	0.1549	0.1535	0.1751	0.1755
65	1.9890	76.9	77.1	-0.1141	-0.1148	-0.1890	-0.1277
66	2.2747	81.3	83.1	0.0899	0.0804	0.1017	0.0909
67	2.3305	85.5	86.0	0.0680	0.0653	0.0769	0.0741
68	2.8262	88.9	88.5	-0.0462	-0.0531	-0.0522	-0.0600
69	3.1019	91.8	92.0	0.0372	0.0362	0.0421	0.0409
70	3.3776	93.0	93.5	0.0315	0.0292	0.0356	0.0330
71	3.6534	95.0	95.3	-0.0282	-0.0209	-0.0252	-0.0236
72	3.9291	96.0	96.5	0.0177	0.0153	0.0200	0.0173
73	4.2048	97.1	97.5	0.0128	0.0110	0.0145	0.0124
74	4.4805	98.0	97.5	-0.0068	-0.0110	-0.0100	-0.0124
75	4.7563	98.1	98.5	0.0063	0.0066	0.0094	0.0073
76	5.0320	99.0	99.7	0.0044	0.0013	0.0050	0.0015
						0.0033	0.0063

TABLA 4 - 5

DATOS OBTENIDOS CON UN ÁNGULO DE 180 GRADOS DEL LA ALIMENTACIÓN CON RESPECTO A LA DESCARGA

VOLÚMEN= ... 15.16 l V<sub>m</sub>=0.836 l/min T<sub>acm</sub> 18.1340 min Abs. pr. 0.8844

N	teta	IR	IR'	AB	AB' E(teta)	E(teta)'/E(teta)	E(teta)''
1	0.0000	100.0	100.0	,0000	.0000	0.0000	0.0000
2	0.0184	11.3	12.5	0.9331	0.9331	1.0621	1.0211
3	0.0230	12.0	12.9	0.9208	0.8894	1.0412	1.0057
4	0.0276	12.0	13.0	0.9208	0.8861	1.0412	1.0019
5	0.0322	12.0	13.0	0.9208	0.8861	1.0412	1.0019
6	0.0368	12.3	13.3	0.9331	0.8761	1.0211	0.9906
7	0.0414	12.5	13.5	0.9331	0.8637	1.0211	0.9834
8	0.0460	13.0	13.5	0.8861	0.8637	1.0019	0.9834
9	0.0506	13.0	13.5	0.8861	0.8597	1.0019	0.9834
10	0.0551	12.5	14.0	0.9331	0.8539	1.0211	0.9533
11	0.0597	13.1	14.0	0.8827	0.8539	0.9801	0.9533
12	0.0643	13.1	14.3	0.8827	0.8447	0.9801	0.9531
13	0.0689	13.3	14.0	0.8761	0.8339	0.9906	0.9531
14	0.0735	13.5	14.3	0.8697	0.8447	0.9834	0.9531
15	0.0873	14.1	14.5	0.8508	0.8306	0.9620	0.9482
16	0.0965	14.5	15.0	0.8206	0.8239	0.9482	0.9316
17	0.1057	15.0	15.0	0.8239	0.8239	0.9316	0.9316
18	0.1149	15.5	15.5	0.8153	0.8097	0.9219	0.9153
19	0.1241	15.5	15.5	0.8097	0.8097	0.9153	0.9153
20	0.1333	16.0	16.3	0.7938	0.7938	0.8999	0.8999
21	0.1425	16.0	16.5	0.7938	0.7825	0.8999	0.8848
22	0.1516	16.5	17.5	0.7825	0.7570	0.8848	0.8599
23	0.1608	17.0	17.5	0.7696	0.7570	0.8702	0.8539
24	0.1700	17.0	17.5	0.7696	0.7570	0.8702	0.8531
25	0.1792	17.5	17.9	0.7570	0.7471	0.8599	0.8448
26	0.1830	17.5	18.2	0.7570	0.7399	0.8599	0.8463
27	0.2068	18.0	19.5	0.7447	0.7100	0.8420	0.8028
28	0.2206	18.5	19.0	0.7328	0.7212	0.8246	0.8132
29	0.2344	19.2	20.0	0.7144	0.6930	0.8078	0.7904
30	0.2482	19.3	20.5	0.7144	0.6842	0.8078	0.7792
31	0.2619	20.1	21.0	0.6958	0.5778	0.7879	0.7684
32	0.2757	20.5	21.0	0.6798	0.5778	0.7688	0.7584
33	0.2895	21.0	22.0	0.6778	0.5576	0.7564	0.7435
34	0.3033	21.5	22.5	0.6676	0.6478	0.7549	0.7325
35	0.3171	22.5	23.0	0.6478	0.6383	0.7325	0.7217
36	0.3309	23.0	23.1	0.6383	0.6364	0.7217	0.7196
37	0.3447	23.0	23.5	0.6383	0.6269	0.7217	0.7111
38	0.3722	25.4	25.0	0.5801	0.6021	0.6653	0.6808
39	0.3998	26.3	26.0	0.5800	0.5850	0.6538	0.6615
						0.6587	0.6703

TABLA 4 - 5  
(CONTINUACIÓN)

N	teta	TR	TM	AB	RD <sup>1</sup>	E(teta)	E(teta) <sup>1</sup>	E(teta) <sup>2</sup>	E(teta) <sup>3</sup>
40	0.4274	27.0	27.3	0.5586	0.5628	0.6429	0.6375	0.6402	0.6522
41	0.4549	28.0	26.5	0.5028	0.5768	0.6251	0.6522	0.6387	0.6345
42	0.4825	30.1	27.0	0.5214	0.5696	0.6429	0.6153	0.6172	
43	0.5101	29.9	28.0	0.5842	0.5320	0.5928	0.6251	0.6090	0.6004
44	0.5377	23.0	28.0	0.4949	0.5776	0.5895	0.6079	0.5838	0.5841
45	0.5652	22.0	31.0	0.4949	0.5086	0.5596	0.5751	0.5674	0.5682
46	0.5928	32.5	31.5	0.4681	0.5017	0.5319	0.5673	0.5596	0.5528
47	0.6204	25.0	33.5	0.4559	0.4841	0.5135	0.5519	0.5337	0.5377
48	0.6480	35.5	33.5	0.4377	0.4750	0.4949	0.5371	0.5160	0.5231
49	0.6755	37.0	34.5	0.4318	0.4622	0.4882	0.5226	0.5034	0.5089
50	0.7031	29.0	36.5	0.4089	0.4772	0.4623	0.4948	0.4706	0.4816
51	0.7308	41.5	29.5	0.3820	0.4034	0.4319	0.4561	0.4440	0.4558
52	-0.8410	48.0	40.5	0.3768	0.2825	0.4861	0.4438	0.4790	0.4313
53	0.8961	44.1	43.5	0.3556	0.3615	0.4021	0.4088	0.4055	0.4082
54	0.9513	47.0	44.5	0.3279	0.3516	0.3708	0.3976	0.3842	0.3862
55	-1.0064	47.8	46.2	0.3206	0.3244	0.3625	0.3781	0.3703	0.3653
56	1.0615	49.0	48.5	0.3098	0.3143	0.3503	0.3554	0.3529	0.3459
57	1.1167	52.0	51.0	0.2840	0.2924	0.3211	0.3306	0.3279	0.3274
58	-1.1718	64.5	58.5	0.2636	0.2798	0.3704	0.3164	0.3073	0.3098
59	1.2270	54.3	54.3	0.2652	0.2552	0.2999	0.2999	0.2999	0.2932
60	1.2821	57.5	57.0	0.2403	0.2441	0.2717	0.2760	0.2739	0.2775
61	-1.3372	58.5	58.5	0.2120	0.2228	0.2638	0.2632	0.2632	0.2626
62	1.3984	68.9	61.0	0.1894	0.2147	0.2436	0.2428	0.2432	0.2463
63	1.4476	62.0	62.0	0.2076	0.2076	0.2347	0.2347	0.2347	0.2351
64	-1.7233	70.5	68.5	0.1518	0.1555	0.1716	0.1758	0.1737	0.1785
65	1.9990	76.0	76.5	0.1192	0.1163	0.1348	0.1315	0.1332	0.1355
66	2.2747	82.5	82.0	0.0825	0.0662	0.0944	0.0975	0.0960	0.1028
67	2.5505	86.9	86.0	0.0610	0.0655	0.0680	0.0741	0.0718	0.0780
68	2.8262	89.0	89.0	0.0506	0.0467	0.0572	0.0528	0.0550	0.0592
69	3.1019	91.3	91.9	0.0395	0.0367	0.0447	0.0415	0.0431	0.0450
70	3.3776	93.1	94.1	0.0311	0.0364	0.0382	0.0293	0.0326	0.0341
71	3.6534	95.0	95.3	0.0223	0.0205	0.0252	0.0236	0.0244	0.0253
72	3.9291	96.1	96.1	0.0173	0.0173	0.0196	0.0196	0.0196	0.0197
73	4.2048	97.0	97.1	0.0132	0.0128	0.0149	0.0145	0.0147	0.0149
74	4.4803	98.0	98.0	0.0088	0.0088	0.0100	0.0100	0.0100	0.0113
75	4.7563	98.0	98.2	0.0088	0.0079	0.0100	0.0089	0.0095	0.0086
76	5.0320	98.5	99.0	0.0055	0.0044	0.0075	0.0050	0.0062	0.0065

TABLA 4 - 6

DATOS OBTENIDOS CON UN ÁMBULO DE 225 GRAMOS DEL LA ALIMENTACIÓN CON RESPECTO A LA DESODORADA

	VOLUMEN	15.16.1	Var. 0.036 l/min	Tanq 18.1340 min	Obs. pr. 0.0044
N.	teta	TR	TR'	AB	AB' E(teta) E(teta)'E(teta) E(teta) E(teta)t
1	0.0000	100.0	99.0	.0000	0.0044 0.0000 0.0000 0.0000 1.0000
2	0.0184	12.2	13.0	0.9126	0.0861 1.0330 1.0019 1.0175 0.9818
3	0.0230	12.5	13.0	0.9031	0.0861 1.0011 1.0019 1.0113 0.9773
4	0.0276	12.5	13.5	0.9031	0.0867 1.0211 0.9834 1.0023 0.9728
5	0.0322	12.6	13.5	0.8936	0.0867 1.0172 0.9834 1.0003 0.9683
6	0.0368	13.0	13.5	0.8861	0.0857 1.0019 0.9834 0.9927 0.9539
7	0.0414	13.2	13.5	0.8794	0.0857 0.9843 0.9834 0.9869 0.9594
8	0.0460	13.5	13.5	0.8697	0.0857 0.9834 0.9834 0.9834 0.9580
9	0.0506	13.5	13.9	0.8657	0.0870 0.9834 0.9830 0.9762 0.9507
10	0.0551	14.0	14.0	0.8539	0.0839 0.9653 0.9653 0.9653 0.9464
11	0.0597	14.0	14.1	0.8539	0.0850 0.9653 0.9620 0.9638 0.9480
12	0.0643	14.0	14.0	0.8539	0.0839 0.9653 0.9635 0.9635 0.9377
13	0.0689	14.5	14.5	0.8386	0.8386 0.9468 0.9468 0.9462 0.9304
14	0.0781	15.0	14.5	0.8239	0.8386 0.9316 0.9402 0.9399 0.9049
15	0.0873	14.5	15.0	0.8306	0.8239 0.9422 0.9316 0.9339 0.9164
16	0.0965	15.0	15.5	0.8239	0.8097 0.9316 0.9153 0.9236 0.9080
17	0.1057	15.0	15.5	0.8239	0.8097 0.9316 0.9153 0.9236 0.8997
18	0.1149	15.1	15.0	0.8210	0.7959 0.9283 0.8999 0.9161 0.8915
19	0.1241	15.5	16.1	0.8097	0.7932 0.9135 0.8969 0.9062 0.8833
20	0.1333	15.6	16.1	0.8097	0.7932 0.9135 0.8969 0.9062 0.8732
21	0.1425	16.1	16.5	0.7932	0.7825 0.8981 0.8841 0.8909 0.8638
22	0.1516	16.5	17.1	0.7825	0.7670 0.8848 0.8573 0.8761 0.8593
23	0.1608	17.0	17.5	0.7595	0.7570 0.8702 0.8559 0.8631 0.8515
24	0.1700	17.0	17.9	0.7595	0.7421 0.8702 0.8448 0.8575 0.8437
25	0.1792	17.0	17.5	0.7595	0.7570 0.8702 0.8539 0.8631 0.8389
26	0.1930	18.0	18.0	0.7447	0.7447 0.8420 0.8420 0.8420 0.8245
27	0.2056	18.1	19.9	0.7423	0.7235 0.8393 0.8181 0.8987 0.8139
28	0.2206	19.0	19.1	0.7212	0.7190 0.8153 0.8130 0.8143 0.8020
29	0.2344	18.5	19.5	0.7328	0.7100 0.8286 0.8028 0.8157 0.7910
30	0.2482	18.5	20.0	0.7328	0.6390 0.8286 0.7904 0.8095 0.7802
31	0.2619	20.0	20.5	0.6990	0.6882 0.7904 0.7782 0.7843 0.7696
32	0.2757	20.1	22.0	0.6968	0.6376 0.7879 0.7435 0.7658 0.7590
33	0.2895	20.5	22.0	0.6802	0.5576 0.7782 0.7435 0.7609 0.7486
34	0.3033	21.5	22.2	0.6676	0.6536 0.7549 0.7390 0.7470 0.7384
35	0.3171	21.1	23.0	0.6575	0.6383 0.7546 0.7217 0.7429 0.7283
36	0.3309	22.5	23.0	0.6478	0.6383 0.7325 0.7217 0.7271 0.7183
37	0.3447	22.8	24.0	0.6421	0.6198 0.7260 0.7008 0.7134 0.7084
38	0.3722	23.0	23.5	0.6383	0.6239 0.7217 0.7111 0.7164 0.6892
39	0.3933	24.0	25.0	0.6198	0.5059 0.7008 0.6615 0.6812 0.6703

TABLA 4 - 6  
(CONTINUACIÓN)

N	teta	TR	TR'	R8	AB' E(teta)	E(teta)*E(teta)	E(teta)
40	0.4274	24.3	25.5	0.6108	0.5768	0.6906	0.6322
41	0.4349	25.9	27.5	0.5867	0.5607	0.6634	0.6340
42	0.4625	26.5	28.5	0.5768	0.5452	0.6322	0.6165
43	0.5101	29.0	29.5	0.5320	0.5302	0.6291	0.5935
44	0.5377	29.5	31.1	0.5452	0.5072	0.6165	0.5735
45	0.5652	29.5	30.5	0.5302	0.4881	0.5993	0.5819
46	0.5928	31.1	33.5	0.5072	0.4750	0.5735	0.5371
47	0.6204	32.0	34.0	0.4949	0.4605	0.5395	0.5297
48	0.6480	32.1	35.9	0.4825	0.4449	0.5360	0.5031
49	0.6755	33.5	36.1	0.4730	0.4425	0.5371	0.5003
50	0.7307	35.8	37.9	0.4461	0.4318	0.5044	0.4682
51	0.7659	37.0	40.5	0.4318	0.3925	0.4682	0.4438
52	0.8410	39.2	41.9	0.4067	0.3778	0.4599	0.4272
53	0.8661	42.5	44.5	0.3716	0.3516	0.4202	0.3976
54	0.9513	44.0	46.9	0.3563	0.3288	0.4031	0.3718
55	1.0064	46.0	48.0	0.3372	0.3184	0.3813	0.3605
56	1.0615	48.1	50.1	0.3173	0.3002	0.3593	0.3394
57	1.1167	49.5	52.0	0.3054	0.2840	0.3453	0.3211
58	1.1718	51.1	54.0	0.2882	0.2576	0.3259	0.3026
59	1.2270	53.5	54.9	0.2745	0.2604	0.3071	0.2944
60	1.2821	56.5	57.5	0.2480	0.2403	0.2804	0.2717
61	1.3373	57.0	58.0	0.2441	0.2366	0.2760	0.2675
62	1.3924	59.0	62.0	0.2291	0.2076	0.2590	0.2347
63	1.4476	60.0	64.5	0.2018	0.1908	0.2508	0.2157
64	1.7233	67.5	72.0	0.1707	0.1487	0.1930	0.1614
65	1.9890	74.5	77.0	0.1278	0.1135	0.1465	0.1383
66	2.2747	80.0	82.3	0.0969	0.0846	0.1096	0.0957
67	2.5503	85.0	85.5	0.0706	0.0680	0.0798	0.0769
68	2.8262	88.5	89.0	0.0531	0.0506	0.0600	0.0572
69	3.1019	91.0	92.0	0.0410	0.0362	0.0464	0.0409
70	3.3776	93.5	94.0	0.0298	0.0259	0.0330	0.0304
71	3.6534	95.0	95.0	0.0293	0.0223	0.0292	0.0252
72	3.9291	96.5	96.7	0.0153	0.0146	0.0175	0.0165
73	4.2048	97.0	97.5	0.0132	0.0110	0.0149	0.0124
74	4.4805	98.0	98.0	0.0068	0.0068	0.0100	0.0100
75	4.7563	98.5	98.5	0.0066	0.0066	0.0075	0.0075
76	5.0320	99.0	98.9	0.0044	0.0048	0.0050	0.0054
							0.0052
							0.0065

TABLA 4 - 7

DATOS OBTENIDOS CON UN ÁNGULO DE 270 GRADOS DEL LA ALIMENTACIÓN CON RESPECTO A LA DESCARGA

VOLUMEN = 15.16 l Vw = 0.836 l/min Tae = 18.1340 min Abre, p = 0.0844

N	teta	TR	TR'	AB	AB' E(teta)	E(teta)'	E(teta)''	E(teta)'''
1	0.0000	100.0	95.0	0.0000	0.0044	0.0000	0.0000	1.0000
2	0.0184	12.5	11.5	0.9031	0.9393	1.0211	1.0621	1.0416
3	-0.0230	12.5	11.5	0.9031	0.9393	1.0211	1.0481	1.0416
4	0.0276	12.5	11.5	0.9031	0.9393	1.0211	1.0621	1.0416
5	0.0322	12.5	12.0	0.9031	0.9208	1.0211	1.0412	1.0312
6	-0.0368	13.0	12.0	0.8861	0.9208	1.0019	1.0412	1.0216
7	0.0414	12.9	12.3	0.8876	0.9101	1.0057	1.0491	1.0174
8	0.0460	13.5	12.1	0.8697	0.9172	0.9834	1.0371	1.0103
9	-0.0506	13.1	12.1	0.8627	0.9172	0.9881	1.0371	1.0176
10	0.0551	13.1	12.3	0.8627	0.9101	0.9981	1.0291	1.0136
11	-0.0597	13.5	12.5	0.8597	0.9031	0.9834	1.0211	1.0023
12	0.0643	14.0	12.5	0.8539	0.9031	0.9653	1.0211	0.9333
13	0.0689	13.5	13.0	0.8597	0.8861	0.9834	1.0019	0.9927
14	0.0735	14.5	13.1	0.8386	0.8827	0.9482	0.9981	0.9738
15	-0.0781	15.0	13.5	0.8239	0.8537	0.9316	0.9834	0.9375
16	0.0965	15.0	13.5	0.8239	0.8537	0.9316	0.9834	0.9573
17	0.1057	15.1	14.1	0.8210	0.8508	0.9283	0.9520	0.9452
18	-0.1149	15.5	14.3	-0.8097	-0.8447	0.9155	0.9521	0.9353
19	0.1241	15.9	14.3	0.7985	0.8386	0.9838	0.9482	0.9238
20	0.1333	16.0	14.3	0.7939	0.8386	0.8999	0.9482	0.9241
21	-0.1425	16.5	15.5	-0.8825	-0.8037	0.8848	0.9153	0.9002
22	0.1516	17.1	15.9	0.7670	0.7936	0.8573	0.9030	0.8832
23	0.1608	17.1	16.0	0.7670	0.7939	0.8673	0.8999	0.8636
24	-0.1700	18.0	16.5	-0.7447	-0.7825	0.8420	0.8848	0.8634
25	0.1792	18.0	16.5	0.7447	0.7721	0.8429	0.8730	0.8575
26	0.1930	18.1	17.0	0.7423	0.7698	0.8393	0.8702	0.8548
27	-0.2051	19.1	17.5	-0.7190	-0.7579	0.8130	0.8339	0.8245
28	0.2206	19.5	18.0	0.7100	0.7447	0.8028	0.8420	0.8224
29	0.2344	20.1	18.1	0.6968	0.7423	0.7879	0.8393	0.8136
30	-0.2482	20.1	18.5	-0.6968	-0.7326	0.7873	0.8295	0.8063
31	0.2619	20.9	20.3	0.6799	0.7302	0.7688	0.7993	0.7642
32	0.2757	21.5	19.5	0.6676	0.7190	0.7549	0.8028	0.7709
33	-0.2895	22.1	20.0	-0.6556	-0.6958	0.7412	0.7904	0.7559
34	0.3033	22.1	21.0	0.6556	0.6778	0.7413	0.7664	0.7539
35	0.3171	23.0	21.0	0.6383	0.6778	0.7217	0.7664	0.7441
36	-0.3309	23.1	21.9	-0.6326	-0.6596	0.7153	0.7458	0.7306
37	0.3447	24.1	22.5	0.6180	0.6478	0.6923	0.7325	0.7157
38	0.3722	25.1	23.1	0.6003	0.6354	0.6786	0.7195	0.6992
39	-0.3900	26.1	24.0	-0.5834	-0.6138	0.6597	0.7008	0.6803

TABLA 4 - 7  
(CONTINUACIÓN)

$\eta$	teta	TR	TR'	AB	AB' E(teta)	E(teta)'E(teta) t	E(teta)t
40	0.4274	27.0	25.5	0.5686	0.5935	0.6429	0.6711
41	0.4549	28.0	26.0	0.5328	0.5050	0.6291	0.6615
42	0.4825	30.0	25.5	0.5229	0.5768	0.5912	0.5922
43	0.5101	30.5	27.0	0.5157	0.5688	0.6031	0.6429
44	0.5377	31.1	28.5	0.5072	0.5432	0.5733	0.6165
45	0.5652	32.9	29.1	0.4881	0.5161	0.5519	0.6062
46	0.5928	34.0	30.0	0.4685	0.5229	0.5297	0.5912
47	0.6204	34.0	31.0	0.4685	0.5086	0.5297	0.5731
48	0.6480	35.9	33.0	0.4449	0.4815	0.5031	0.5444
49	0.6755	37.5	32.5	0.4260	0.4789	0.4817	0.5371
50	0.7030	37.1	35.0	0.4306	0.4437	0.4859	0.5017
51	0.7305	40.5	38.0	0.3925	0.4809	0.4438	0.4751
52	0.8410	42.5	40.0	0.3716	0.3979	0.4802	0.4499
53	0.8561	45.0	41.5	0.3372	0.3820	0.3813	0.4319
54	0.9513	48.0	45.0	0.3188	0.3468	0.3605	0.3921
55	1.0064	48.3	47.0	0.3161	0.3279	0.3574	0.3708
56	1.0615	41.3	46.0	0.3640	0.3188	0.4342	0.3605
57	1.1167	32.9	49.9	0.2743	0.3019	0.3126	0.2414
58	1.1718	35.0	52.0	0.2516	0.2840	0.2847	0.3011
59	1.2270	37.3	53.0	0.2418	0.2398	0.2734	0.2935
60	1.2821	38.5	56.5	0.2286	0.2480	0.2632	0.2804
61	1.3373	50.1	57.0	0.2211	0.2441	0.2500	0.2760
62	1.3924	62.5	59.9	0.2041	0.2226	0.2308	0.2517
63	1.4476	63.0	61.0	0.2007	0.2147	0.2269	0.2428
64	1.7233	72.0	69.5	0.1427	0.1580	0.1614	0.1787
65	1.9590	77.0	74.5	0.1135	0.1278	0.1283	0.1445
66	2.2747	82.3	80.5	0.0846	0.0942	0.0957	0.1065
67	2.3505	86.0	85.0	0.0655	0.0706	0.0741	0.0798
68	2.8262	88.9	88.5	0.0511	0.0531	0.0578	0.0600
69	3.1019	91.0	91.0	0.0410	0.0410	0.0464	0.0464
70	3.3776	93.0	94.0	0.0315	0.0289	0.0356	0.0304
71	3.5334	94.0	94.2	0.0269	0.0239	0.0304	0.0293
72	3.9291	96.0	95.9	0.0177	0.0182	0.0200	0.0206
73	4.2048	96.1	96.8	0.0173	0.0141	0.0196	0.0159
74	4.4805	97.0	97.0	0.0132	0.0132	0.0149	0.0149
75	4.7563	97.0	97.5	0.0132	0.0110	0.0149	0.0124
76	5.0320	98.3	99.0	0.0074	0.0044	0.0084	0.0050

TABLA 4 - 8

DATOS OBTENIDOS CON UN ÁNGULO DE 315 GRADOS DEL LA ALIMENTACIÓN CON RESPECTO A LA DESCARGA

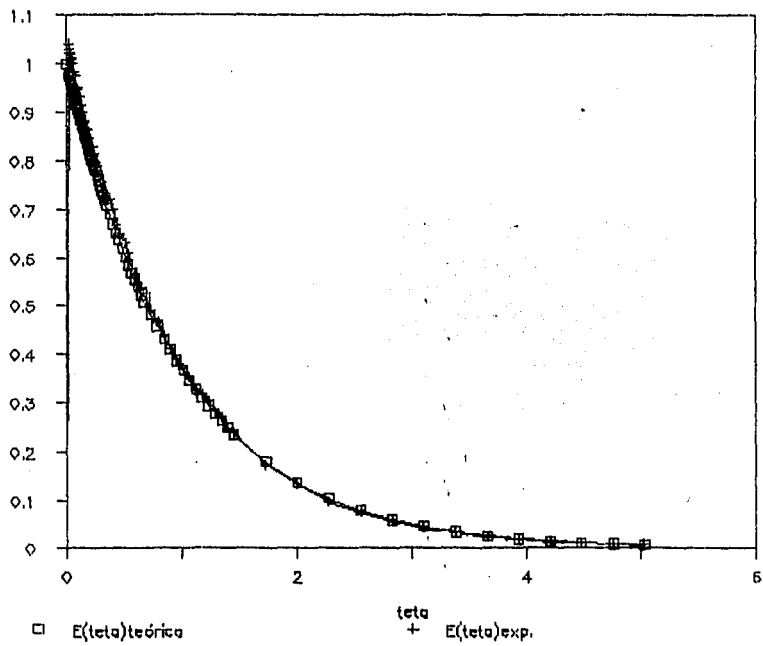
	VOLUMEN	15.16 l	Hora 0.035 l/min	Tens 18.1340 min	Abs. pr.	0.0644	
N	teta	TR	TR'	AB	AB' E(teta)	E(teta)' <sup>n</sup> E(teta)	E(teta)' <sup>n</sup>
1	0.0000	100.0	99.5	.0000	0.0028	0.0000	0.0000
2	0.0184	12.0	12.9	0.9208	0.8894	1.0412	1.0057
3	0.0230	12.0	12.5	0.9208	0.9031	1.0412	1.0211
4	0.0276	12.5	12.5	0.9031	0.9031	1.0211	1.0211
5	0.0322	12.5	13.0	0.9031	0.8861	1.0211	1.0019
6	0.0368	12.5	13.0	0.9031	0.8861	1.0211	1.0019
7	0.0414	13.0	13.5	0.8861	0.8697	1.0019	0.9834
8	0.0460	13.0	13.5	0.8861	0.8697	1.0019	0.9834
9	0.0506	13.0	13.5	0.8861	0.8697	1.0019	0.9834
10	0.0551	13.0	13.5	0.8861	0.8697	1.0019	0.9834
11	0.0597	13.5	14.0	0.8697	0.8539	0.9834	0.9745
12	0.0643	13.5	14.1	0.8697	0.8539	0.9834	0.9745
13	0.0689	12.3	14.5	0.8764	0.8386	0.9906	0.9482
14	0.0781	14.0	14.0	0.8339	0.8339	0.9635	0.9635
15	0.0823	14.1	14.9	0.8508	0.8256	0.9620	0.9348
16	0.0965	15.0	15.5	0.8233	0.8097	0.9315	0.9135
17	0.1057	15.1	15.5	0.8210	0.8097	0.9283	0.9119
18	0.1149	15.2	15.5	0.8182	0.8097	0.9251	0.9103
19	0.1241	15.0	16.0	0.7959	0.7959	0.8999	0.8999
20	0.1333	15.0	16.5	0.7859	0.7803	0.8999	0.8944
21	0.1425	15.5	16.5	0.7805	0.7805	0.8944	0.8844
22	0.1516	16.5	17.0	0.7625	0.7626	0.8848	0.8702
23	0.1608	16.9	17.0	0.7721	0.7636	0.8730	0.8702
24	0.1700	17.0	17.3	0.7636	0.7570	0.8702	0.8593
25	0.1792	17.1	17.5	0.7670	0.7570	0.8673	0.8559
26	0.1930	18.0	19.0	0.7447	0.7447	0.8420	0.8420
27	0.2064	18.5	18.5	0.7228	0.7228	0.8296	0.8296
28	0.2206	19.0	19.1	0.7212	0.7190	0.8155	0.8130
29	0.2344	20.0	19.5	0.6990	0.7100	0.7904	0.8028
30	0.2482	19.9	18.9	0.7011	0.2011	0.7927	0.7927
31	0.2619	20.5	20.5	0.6802	0.6802	0.7782	0.7782
32	0.2757	21.3	21.0	0.6576	0.6778	0.7349	0.7664
33	0.2895	21.5	21.5	0.6576	0.6576	0.7549	0.7549
34	0.3033	22.0	22.3	0.6576	0.6478	0.7436	0.7325
35	0.3171	22.3	22.5	0.6517	0.6478	0.7369	0.7325
36	0.3209	22.8	23.0	0.6402	0.6283	0.7239	0.7217
37	0.3447	24.0	23.5	0.6198	0.6289	0.7008	0.7111
38	0.3722	25.1	24.5	0.6003	0.6108	0.6788	0.6905
39	0.3998	25.0	26.0	0.5850	0.5850	0.6615	0.6615
							0.6703

TABLA 4 - 8  
(CONTINUACIÓN)

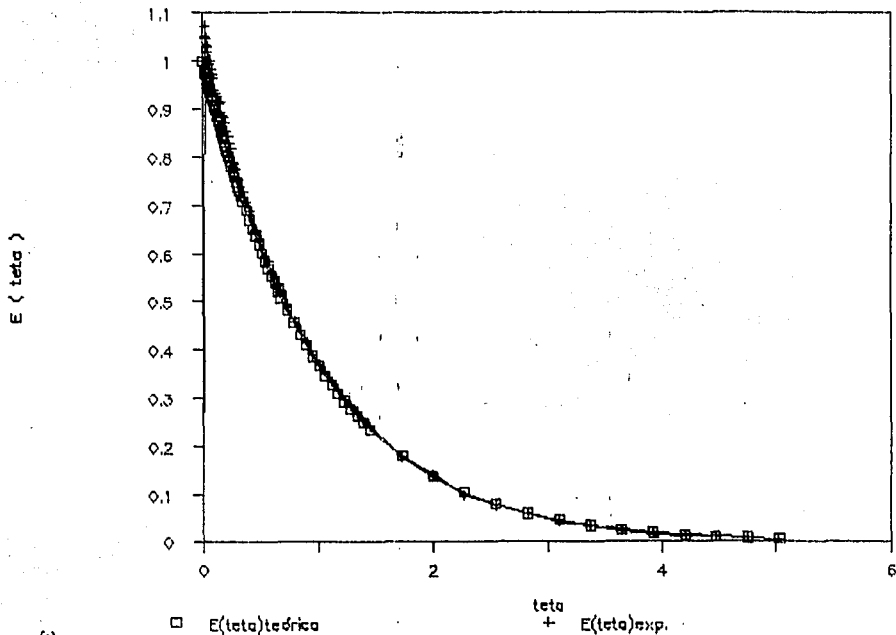
	total	TR	TR'	AB	AB'	E(tota)	E(tota)'	E(tota)m	E(tota)t
39	0.4274	26.1	25.0	0.5013	0.5830	0.6234	0.6615	0.6425	0.6522
40	0.4549	28.9	27.1	0.5391	0.5570	0.6036	0.6411	0.6254	0.6345
41	0.4825	30.0	28.0	0.5223	0.5328	0.5912	0.6251	0.6092	0.6172
42	0.5101	30.9	29.1	0.5100	0.5361	0.5767	0.6062	0.5915	0.6004
43	0.5377	32.0	30.0	0.4949	0.5229	0.5936	0.5912	0.5734	0.5841
44	0.5552	32.5	31.0	0.4881	0.5036	0.5519	0.5751	0.5625	0.5582
45	0.5928	34.0	32.5	0.4685	0.4881	0.5297	0.5319	0.5406	0.5328
46	0.6204	35.1	34.0	0.4547	0.4688	0.5141	0.5297	0.5219	0.5377
47	0.6480	35.9	35.5	0.4448	0.4498	0.5031	0.5085	0.5059	0.5221
48	0.6755	36.3	35.9	0.4401	0.4449	0.4976	0.5031	0.5004	0.5089
49	0.7307	39.0	38.0	0.4089	0.4202	0.4623	0.4731	0.4687	0.4816
50	0.7698	43.0	40.5	0.3663	0.3923	0.4146	0.4438	0.4691	0.4358
51	0.8410	45.0	43.0	0.3458	0.3663	0.3921	0.4144	0.4033	0.4313
52	0.8961	46.5	43.5	0.3480	0.3618	0.3867	0.4068	0.3878	0.4082
54	0.9513	47.1	45.5	0.3270	0.3420	0.3697	0.3867	0.3782	0.3862
55	1.0064	50.0	47.5	0.3010	0.3233	0.3403	0.3656	0.3530	0.3655
56	1.0615	51.8	49.0	0.2857	0.3019	0.3220	0.3414	0.3222	0.3459
57	1.1167	52.3	51.5	0.2815	0.2988	0.3183	0.3279	0.3221	0.3274
58	1.1718	53.1	54.0	0.2598	0.2678	0.2985	0.3085	0.2976	0.3098
59	1.2270	57.3	57.0	0.2418	0.2641	0.2734	0.2760	0.2747	0.2822
60	1.2821	58.9	57.1	0.2299	0.2434	0.2600	0.2752	0.2676	0.2775
61	1.3373	60.5	58.5	0.2182	0.2328	0.2467	0.2532	0.2550	0.2626
62	1.3924	62.6	61.0	0.2041	0.2147	0.2208	0.2428	0.2268	0.2485
63	1.4476	63.5	62.9	0.1972	0.2013	0.2230	0.2276	0.2233	0.2331
64	1.7233	71.9	70.1	0.1433	0.1543	0.1680	0.1743	0.1683	0.1785
65	1.9990	77.3	77.1	0.1118	0.1129	0.1064	0.1277	0.1273	0.1253
66	2.2747	83.5	81.3	0.0783	0.0899	0.0845	0.1017	0.0951	0.1028
67	2.5502	87.5	85.0	0.0580	0.0708	0.0656	0.0798	0.0727	0.0780
68	2.8262	89.5	88.0	0.0482	0.0462	0.0543	0.0522	0.0534	0.0532
69	3.1019	92.0	92.0	0.0362	0.0362	0.0409	0.0409	0.0409	0.0450
70	3.3776	93.4	94.0	0.0297	0.0259	0.0336	0.0304	0.0320	0.0341
71	3.6534	94.9	95.0	0.0227	0.0223	0.0257	0.0252	0.0255	0.0259
72	3.9291	96.5	96.1	0.0153	0.0173	0.0175	0.0196	0.0186	0.0197
73	4.2048	97.0	97.0	0.0132	0.0132	0.0149	0.0149	0.0149	0.0149
74	4.4805	98.0	97.9	0.0088	0.0092	0.0100	0.0104	0.0102	0.0113
75	4.7563	98.0	98.4	0.0088	0.0078	0.0100	0.0079	0.0090	0.0086
76	5.0320	98.5	99.3	0.0066	0.0031	0.0075	0.0035	0.0035	0.0063

## ALIMENTACIÓN A 0 GRADOS

E ( $\theta$ )

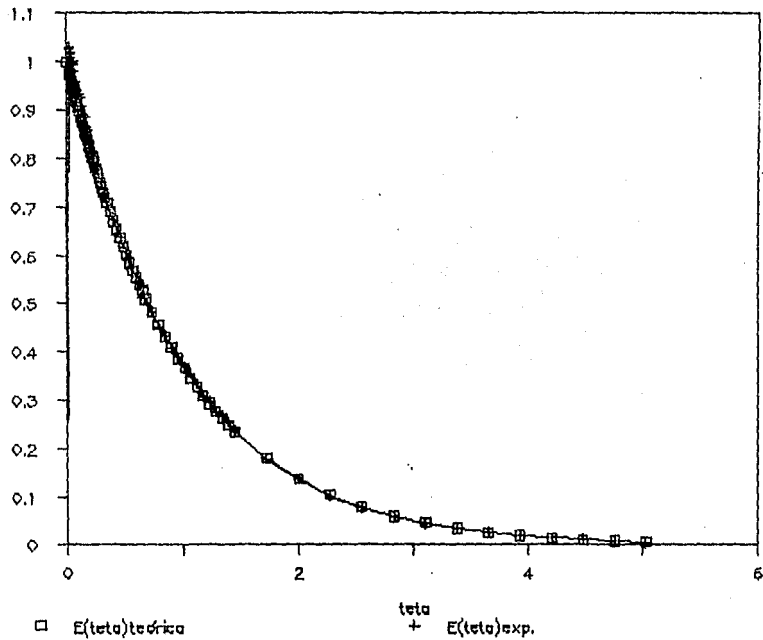


## ALIMENTACIÓN A 45 GRADOS

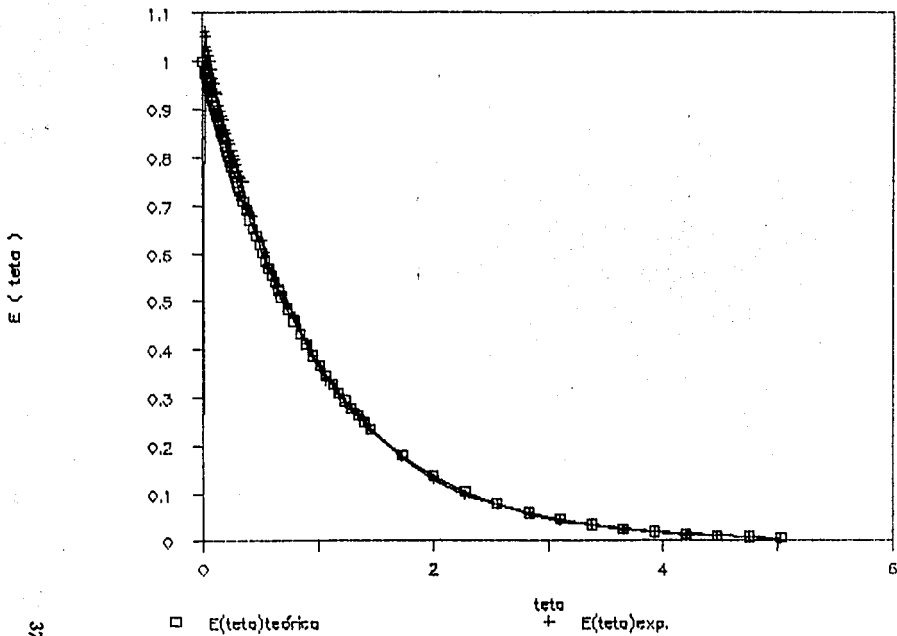


## ALIMENTACIÓN A 90 GRADOS

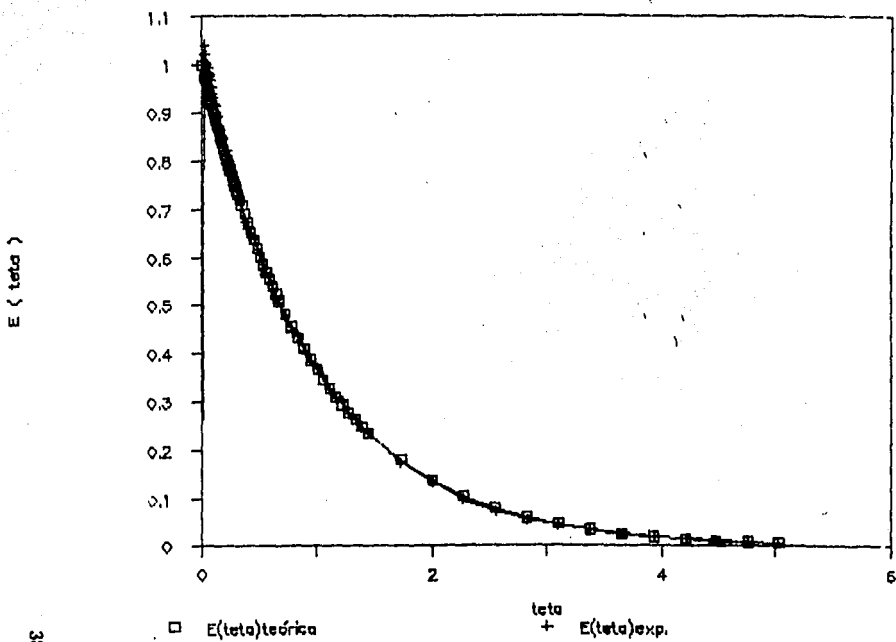
E (teta)



## ALIMENTACIÓN A 135 GRADOS

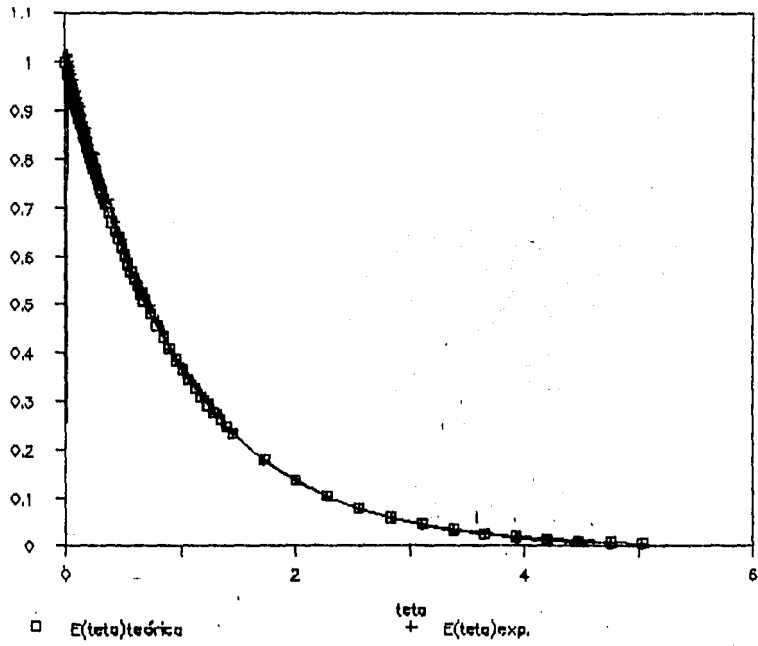


# ALIMENTACIÓN A 180 GRADOS

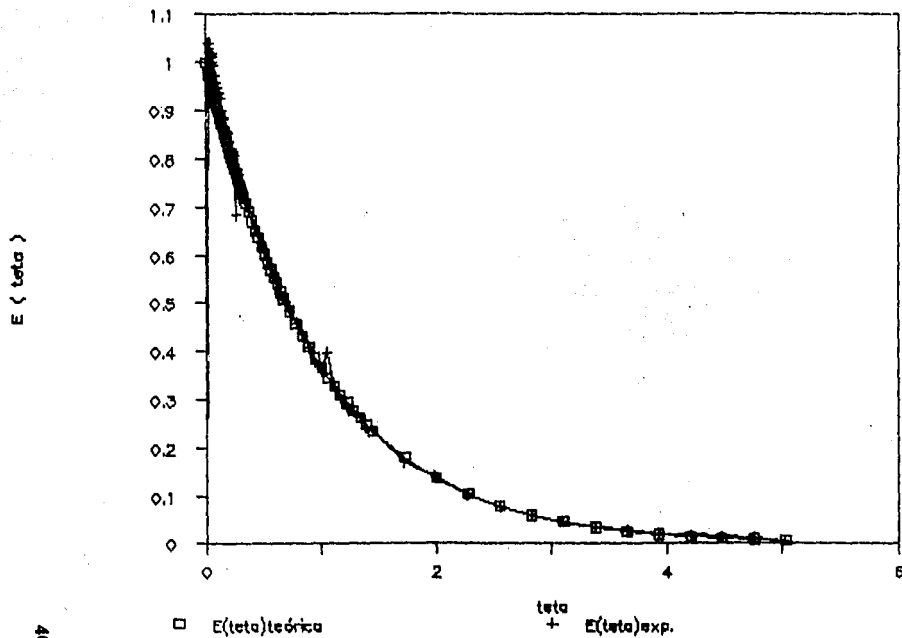


## ALIMENTACIÓN A 225 GRADOS

E (teta)

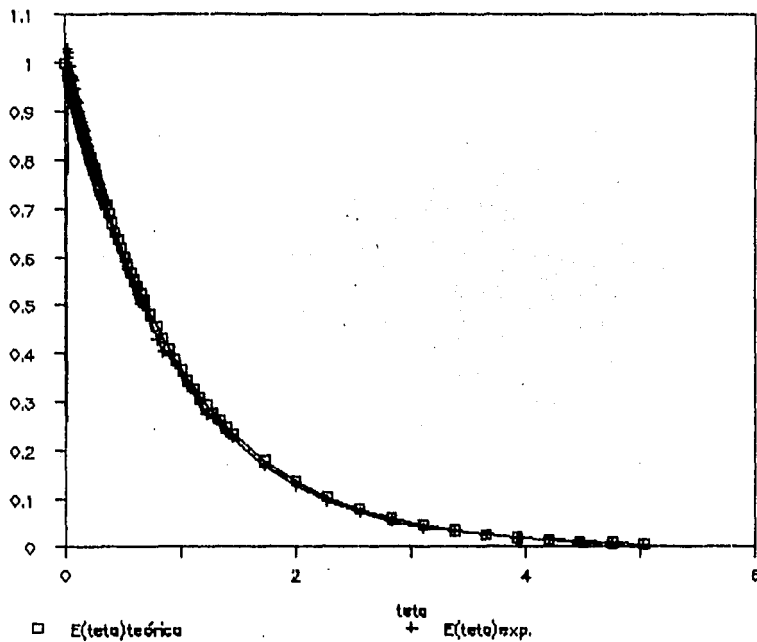


## ALIMENTACIÓN A 270 GRADOS



## ALIMENTACIÓN A 316 GRADOS

E(teta)



CAPÍTULO 5

COMPARACIÓN CON EL MODELO  
IDEAL

## COMPARACIÓN CON EL MODELO TEÓRICO.

Se utilizó la prueba bimuestral de Kolmogorov-Smirnov para probar estadísticamente la confiabilidad de los datos experimentales de las dos réplicas de cada prueba.

También se utilizó la prueba de Kolmogorov-Smirnov para funciones de distribución de frecuencia (Bondad de Ajuste), para comparar el promedio de las curvas experimentales con la curva teórica del modelo de mezcla completa.

En la tabla 5-1 se presentan los valores máximos de desviación que se obtuvieron de la frecuencia acumulada experimental promedio y la de cada réplica para la prueba de consistencia de datos.

En la tabla 5-2 se presentan los valores máximos de desviación que se obtuvieron en la prueba de comparación con el modelo teórico y la promedio experimental.

En el apéndice IV se presenta un ejemplo completo de cálculos realizados para una de las corridas, la de 180 grados.

TABLA 5 - 1

TABLA DE CONSISTENCIA DE DATOS.

<u>NIVEL DE SIGNIFICANCIA</u>	<u>CF</u>
20 %	0.1736
10 %	0.1979
5 %	0.2206
2 %	0.2466
1 %	0.2644

<u>CORRIDA</u>	<u>AGMAX</u>	<u>AG'MAX</u>
0°	0.0144	0.0144
45°	0.0218	0.0218
90°	0.0104	0.0108
135°	0.0083	0.0093
180°	0.0073	0.0065
225°	0.0308	0.0313
270°	0.0292	0.0285
315°	0.0138	0.0138

Hipótesis nula : Las curvas son iguales.

$AGMAX \text{ o } AG'MAX \leq CF$ , se acepta la hipótesis.

$AGMAX \text{ o } AG'MAX > CF$ , se rechaza la hipótesis.

Como se puede observar, aún a un nivel de significancia del 20 %, no se rechaza la hipótesis nula, por lo tanto, los datos obtenidos experimentalmente de las 8 corridas son consistentes.

TABLA 5 - 2

TABLA DE VALORES QUE COMPARA EL PROMEDIO EXPERIMENTAL DE LAS DOS RÉPLICAS CON EL MODELO TEÓRICO DE MEZCLA COMPLETA.

<u>NIVEL DE SIGNIFICANCIA</u>	<u>CF° MÁXIMO PERMITIDO</u>
20 %	0.0868
10 %	0.0990
5 %	0.1103
2 %	0.1233
1 %	0.1322

<u>CORRIDAS</u>	<u>ALIMENTACIÓN</u>	<u>AMAX</u>
1	0°	0.0457
2	45°	0.0417
3	90°	0.0551
4	135°	0.0447
5	180°	0.0599
6	225°	0.0514
7	270°	0.0512
8	315°	0.0726

Hipótesis nula : Las curvas son iguales.

$AMAX \leq CF^o$ , se acepta la hipótesis.

$AMAX > CF^o$ , se rechaza la hipótesis.

Como se puede observar, el valor de AMAX es menor que el valor de  $CF^o$  a cualquier nivel de significancia y, por lo tanto, se acepta la hipótesis nula, las curvas son iguales.

## ANÁLISIS DE LOS RESULTADOS ESTADÍSTICOS.

Observando la tabla 5-1 de consistencia de datos, se concluye que aún a un nivel de significancia del 20% no hay diferencia significativa entre las réplicas de cada corrida.

En la tabla 5-2 se hizo una comparación con el modelo teórico de mezcla completa con el promedio experimental a diferentes grados de alimentación radial con respecto a la descarga que, hasta a un nivel de significancia del 20%, no se rechazan las hipótesis nula de ninguna prueba experimental.

Estos resultados son congruentes con las gráficas 4-1 a 4-8, donde se observa claramente la gran similitud que hay con las del modelo teórico.

## DISCUSIÓN DE LOS RESULTADOS.

Al observar los resultados obtenidos se puede decir - lo siguiente:

1).- Estadísticamente las réplicas de cada corrida - son consistentes hasta un nivel de significancia del 20% de - la prueba de Kolmogorov-Smirnov para consistencia de datos.

2).- Al comparar los resultados de las pruebas experimentales con las del modelo teórico, no se rechaza la hipótesis de que las curvas son iguales hasta un nivel de significancia del 20% en la prueba de Kolmogorov-Smirnov (Bondad de Ajuste), por lo tanto, se acepta que ambas curvas sean iguales y no afecta la posición radial de la alimentación con las condiciones de operación a las que se trabajó. Y ésto también se puede observar viendo la gran similitud que existe entre - las curvas experimentales y la del modelo teórico.

## CONCLUSIONES

## CONCLUSIONES:

Con la realización de esta investigación se alcanzó el objetivo fijado, se analizó la influencia de la posición radial de la alimentación en un reactor continuo agitado de mezcla completa con deflectores, por medio de la distribución de tiempos de residencia de un trazador que se introduce al sistema.

Al analizar los resultados obtenidos se puede concluir lo siguiente:

1).- Estadísticamente las dos réplicas de cada corrida son consistentes hasta un nivel de significancia del 20%, y, por lo tanto, cada prueba que se realice bajo las mismas condiciones de operación nos dará resultados similares a los obtenidos.

2).- Al comparar las curvas experimentales del sistema adoptado, en las condiciones de operación en las que se trabajó, con las del modelo teórico, el sistema se ajusta al modelo de mezcla completa y la influencia en la posición radial de la alimentación no es significativa.

3).- El trazador utilizado (violeta de metilo) es consistente.

Se sugiere hacer estudios similares a éste, variando la estructura de los deflectores por una de forma corrida. Y hacerlo usando equipos más exactos para evitar errores experimentales que nos hacen perder mucha información.

## B I B L I O G R A F Í A

BIBLIOGRAFÍA.

- 1).- CHAO, Lincoln L., Estadística para Ciencias Administrativas., 2a. Ed. MC GRAW-HILL, 1975.
- 2).- CHOU, Ya-Lun, Análisis Estadístico., 2a. Ed., INTERAMERICANA, México, 1977.
- 3).- COOPER, A. R., JEFFREYS G. V., Chemical Kinetics and Reactor Design., PRENTICE-HALL, Inc., 1971.
- 4).- DENBIGH, Kenneth, Teoría del Reactor Químico., 1a. Ed. - ALHAMBRA, Madrid, 1968.
- 5).- GODOY, José Manuel, Estudio de la Distribución de Tiempos de Residencia en un Reactor Continuo de Mezcla Completa con un Trazador como Componente no Reactivo., TESIS, U.A.G., 1980.
- 6).- HARTER, H. L., OWEN, D. B. Tables Mathematical Statistics., 2a. Ed., MARKHAM PUBLISHING COMPANY, - U.S.A., 1970.
- 7).- KREYSZIG, Erwin, Introducción a la Estadística Matemática., 1a. Ed., LIMUSA, México, 1978.
- 8).- LEVENSPIEL, Octave, Ingeniería de las Reacciones Químicas., 2a. Ed., REVERTE, España, 1979.
- 9).- MILLER, Irwin, FREUND, John E., Probabilidad y Estadística

ca para Ingenieros., REVERTE, México, 1984.

- 10).- MORENO ROBLES, Eduardo, Tesis Inédita., U.A.G .
- 11).- ROSCOE, John T., Fundamental Research Statistics for -  
the Behavior Sciences., RINEHART AND WINSTON, -  
Inc., New York, 1975.
- 12).- SMITH, J. M., Ingeniería de la Cinética Química., 2a. -  
Ed., CECSA, México, 1977.
- 13).- WALAS STANLEY, M., Cinética de Reacciones Químicas.

A PÉNDICE I

D E S C R I P C I Ó N D E L E Q U I P O E M P L E A D O

## DESCRIPCIÓN DEL EQUIPO EMPLEADO.

El reactor es un cilindro de lámina galvanizada cuyo fondo es un casquete esférico de 2 cm de profundidad, de 0,1588 cm de espesor, hecho a mano. Tiene 40 cm de sección recta y un diámetro de 25 cm, como se observa en la figura I-1. Dicho tanque tiene 6 perforaciones colocadas a cada lado en las cuales van soldados casquillos de 5.6 cm de largo, de 0.59 cm de diámetro externo y un espesor de 0.11 cm.

Además, posee otra serie de perforaciones que se encuentran a la altura del segundo casquillo, a 12.41 cm de la parte superior del reactor hacia abajo. Esta serie de casquillos están distribuidos en forma radial con una separación de 45°, con respecto a la descarga.

Esta serie de perforaciones se utilizaron como entradas al reactor.

Se utilizó una salida que se encuentra colocada en el tercer casquillo a 18.41 cm de la parte superior del reactor hacia abajo.

Para cerrar la lámina del reactor fué necesario un engargolado que remata en un cordón en la parte superior del reactor, a todo lo largo de la circunferencia.

Además, para crear turbulencias en el reactor, se le colocó en el interior un conjunto de deflectores.

La estructura de estos deflectores consta de dos arcos de lámina galvanizada, que están unidos por tres soportes verticales separados a 115.5°, 123.5°, 121°, respectivamente.

De cada uno de estos soportes salen aletas de 4X4 cm y están espaciadas entre si 4 cm. Son 5 el número de aletas -

que contiene cada soporte.

Dos soportes son iguales (A y B), ya que sus aletas - están distribuidas de la misma manera; de la parte superior - de la estructura hacia la primera aleta hay una distancia de separación de 4 cm.

El tercer soporte (C), la primera aleta se encuentra al nivel de la parte superior de la estructura. Las aletas de los soportes (A y B) se encuentran alternadas con las aletas del soporte (C).

En la figura I-2, se muestran como están distribuidos los deflectores con respecto a las entradas de la alimentación ya que ésta es la variable en este estudio. También se muestra la distancia que existe entre las entradas de la alimentación con respecto a los deflectores.

El reactor cuenta con un indicador de nivel que está colocado a 34.41 cm, de arriba hacia abajo del reactor, que es un tubo de vidrio hueco con una longitud de 35 cm y un diámetro de 1 cm.

El reactor en la parte inferior cuenta con un orificio de descarga.

El volumen del reactor es de 20.4 l, pero nuestra capacidad de operación fué de 15.160 l.

Se utilizó un agitador marca Caframo, tipo RZR1, de 70 W, 115 V, 60 HZ, el cual trabajó a una velocidad constante de 481-485 rpm, con carga.

Se le acopló una flecha de acero inoxidable de 0.79 cm de diámetro y 40 cm de longitud, con una aspa de 7.59 cm de longitud, 2.6 cm de ancho y 0.1 cm de espesor.

Esta flecha se colocó en el centro del reactor a una profundidad de 32.1 cm.

Se usó como depósito de alimentación un bote de lámina de 15 l, que se alimentó por medio de una manguera.

Este tanque fué colocado a una altura de 2.30 m, sobre una estructura de fierro en la cual se colocó todo el equipo. El depósito de alimentación, para mantener el nivel constante, estaba auxiliado por un orificio de descarga para eliminar el excedente del fluido, y un indicador de nivel igual al que contiene el reactor, para mantener la presión hidrostática constante.

La corriente de salida del depósito de alimentación llega a una llave de paso y después a un medidor de flujo.

Esta llave nos permite controlar el flujo de operación y de allí pasa al reactor.

Se utilizaron tres llaves de paso de bronce: 1a) Regulaba el agua hacia el depósito de alimentación.

2a) Regulaba el flujo de entrada hacia el reactor.

3a) Regulaba la salida del fluido del reactor.

Para medir las revoluciones a las que estaba trabajando el agitador se empleó un tacómetro digital.

Para la inyección del trazador se colocó un tubo T de vidrio en la corriente principal, después del medidor de flujo.

El fluido que se utilizó en este estudio fué el agua, por su accesibilidad, bajo costo y fácil manejo.

La sustancia empleada como trazador fué el violeta - de metilo.

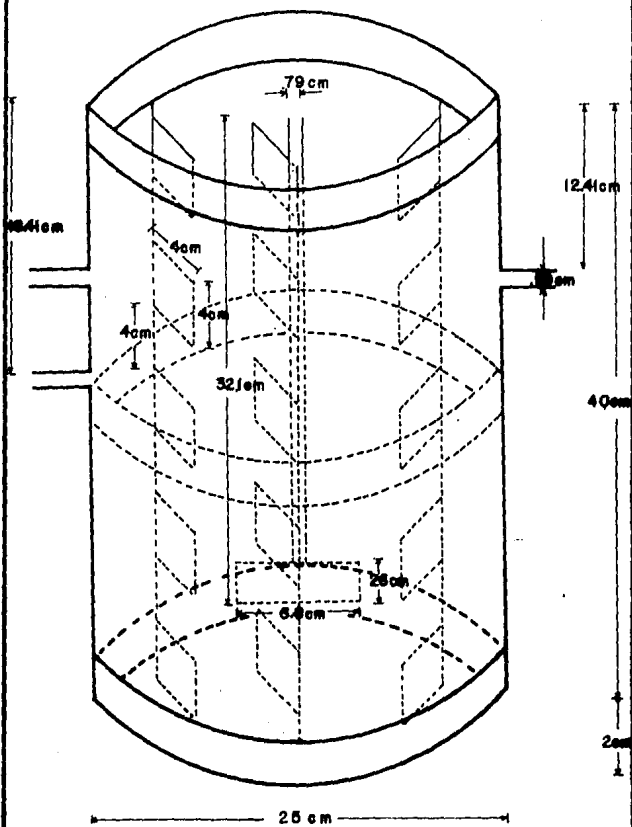
La inyección del trazador se aplicó utilizando una jeringa hipodérmica marca Mad Sheila de 35 ml, con una aguja - No. 16.

Para la medición de los tiempos de recolecta se utilizó un cronómetro.

Para la recolección de muestras se utilizaron 85 tubos de ensayo. Los primeros 10 tubos en los cuales se recogió rápidamente la solución son de 1.5 X 10 cm y se llenaron a un volumen de 14.8 ml. Los 75 restantes son de 1.5 X 15 cm y se tomaron 13.6 ml de solución.

Para la medición de muestras se empleó el espectofotómetro de Bausch & Lomb # 20.

FIG. I-I ESQUEMA DEL REACTOR AGITADO CON ALETAS DEFLECTORAS.



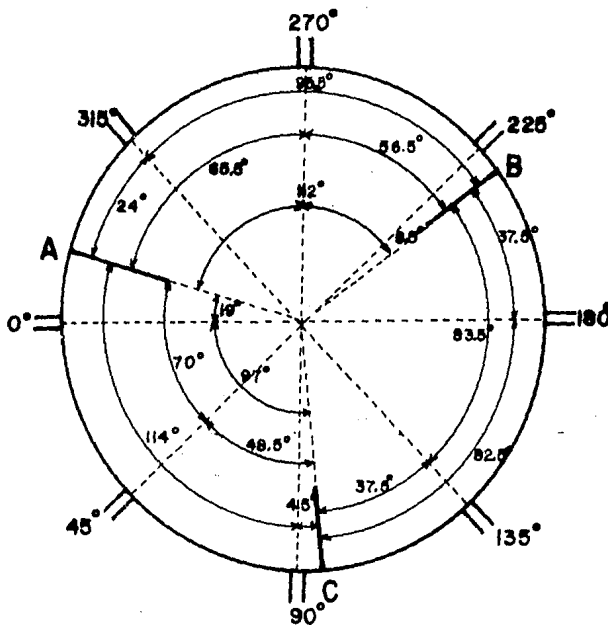


FIG. I-2 DISTRIBUCIÓN DE LAS ALETAS DEFLECTORAS CON RESPECTO A LAS ENTRADAS DE ALIMENTACIÓN.

APÉNDICE II

DESARROLLO EXPERIMENTAL

## DESARROLLO EXPERIMENTAL

### PASOS PRELIMINARES.

a).- Se encontró, por medio de un espectógrafo infrarrojo, la zona de longitud de máxima absorbancia ( $\lambda$ ) del colorante utilizado (violeta de metilo).

b).- Se preparó una solución patrón de la siguiente manera: En un matraz erlenmeyer de 1 l se agregó 0.05 g de violeta de metilo y se aforó con agua. De esta solución se prepararon estándares de 20 ml, 18 ml, 16 ml, 14 ml, 12 ml, - 10 ml, 8 ml, 6 ml, 4 ml, 2 ml, los cuales se aforaron a 100 ml.

c).- Se tomaron lecturas de transmisión a diferentes longitudes de onda y encontramos que la máxima absorbancia del colorante utilizado, tiene una longitud de onda de 590 A°. Para la medición de muestras se utilizó el espectofotómetro de Bausch & Lomb # 20.

d).- Se midió la absorbancia de los estándares y se comprobó la linearidad de absorbancia contra la concentración.

e).- Se preparó la solución del trazador de la siguiente manera: Se disolvieron aproximadamente 5 g de violeta de metilo en 1 l de agua, en un matraz.

f).- Se calculó la cantidad de trazador que se va a inyectar, dependiendo de la concentración que hayamos elegido en el reactor, con el fin de que las muestras tomadas estuvieran en el rango de lectura del espectofotómetro.

g).- Se calibró el medidor de flujo, Rotámetro.

Ver apéndice III.

h).- Se estableció el flujo de operación del sistema y el volumen del reactor, que fué de 15.160 l.

i).- Se calibraron los tubos de ensayo.

#### RUTINA DE TRABAJO.

a).- Montaje del aparato.

b).- Se elige la posición de entrada de la alimentación radial, a la que se va a trabajar ( $0^\circ$ ,  $45^\circ$ ,  $90^\circ$ ,  $135^\circ$  -  $180^\circ$ ,  $225^\circ$ ,  $270^\circ$ ,  $315^\circ$ ), mientras que la salida permanece constante.

c).- Se llena a su nivel de operación el reactor y el depósito de alimentación.

d).- Se preparan los tubos de ensayo para la recolección de muestras. Deben estar secos y limpios.

e).- Se consigue el estado estacionario en el depósito de alimentación, con la ayuda de un orificio de descarga que se encuentra en la parte superior del depósito, el cual ayuda a mantener el nivel constante de agua.

f).- Se inicia la agitación (481 - 485 rpm) y se procede a establecer el estado estacionario en el reactor. Para ésto, es preciso abrir y regular las llaves; 1) De entrada de agua al reactor que está conectado a un rotámetro, el que nos indica el flujo al que estamos trabajando (0.836 l/min).

2) De salida del reactor, tratando de mantener el nivel del reactor constante.

g).- A un tiempo cero, se inyectan 18.2 ml de solución de trazador (violeta de metilo), lo más rápido posible, tratando de que la inyección del trazador sea instantánea y-

se toman 10 muestras rápidamente, una tras otra. A los 20 s-  
después de haber inyectado el trazador se empiezan a recolec-  
tar las 75 muestras restantes a diferentes tiempos. Teniendo  
en cuenta que el tiempo total de muestreo es de 91 min, se -  
distribuyeron en los siguientes intervalos de tiempo:

<u>No. DE MUESTRAS</u>	<u>INTERVALO DE TIEMPO</u>
12	5 s
12	10 s
12	15 s
12	30 s
14	1 min
13	5 min

h).- Se toman las muestras a la salida del reactor y  
se mide la absorbancia de las muestras en el espectofotóme-  
tro.

i).- Se lava cuidadosamente el reactor, ya que el co-  
lorante utilizado es muy fuerte.

j).- Se realiza un duplicado de cada corrida.

k).- Se determina la concentración promedio en el  
reactor de la siguiente manera: 1) Se llena el reactor a su  
nivel de operación, manteniéndose la entrada y salida cerra-  
das.

2) Se inicia la agitación.  
3) Se inyecta la misma cantí-  
dad de trazador (18.2 ml) que se utiliza en las corridas y -  
se deja agitando el tiempo necesario para que se homogenice-  
la solución (1 hr).

4) Se toman varias -- muestras a diferentes niveles del reactor, se mide su absorbancia y se calcula un promedio de ellas.

#### CONDICIONES DE OPERACIÓN.

Volumen de operación del reactor,  $V = 15.160 \text{ l.}$

Caudal,  $v_0 = 0.836 \text{ l/min.}$

$T_{ao}, \tau' = 18.1340 \text{ min.}$

Velocidad de agitación = 481 - 485 rpm.

La concentración promedio que se utilizó para este estudio fué la siguiente: Absorbancia Promedio = 0.8844 .

Para mayor información sobre la concentración promedio ver apéndice V.

Aa

APÉNDICE III

CALIBRACIÓN DEL MEDIDOR  
DE FLUJO

### CALIBRACIÓN DEL MEDIDOR DE FLUJO.

Sirve para determinar el caudal en ml/s para cualquier lectura que hagamos en el rotámetro.

El procedimiento que se siguió para la calibración, fué el siguiente:

a).- Se monta el equipo como se muestra en la figura III-1.

b).- Se varía el flujo que entra al rotámetro, desde la lectura más alta con la que se puede trabajar - que es 83, hasta la más baja, 0, y se hace una medición del líquido recolectado en una probeta en un tiempo fijado. Se hicieron dos réplicas de cada lectura.

Los datos obtenidos se muestran en la tabla III-1.

FIGURA III-1

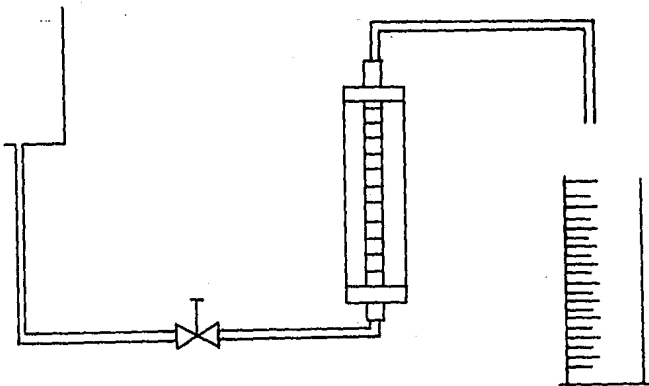


TABLA III - 1.

LECTURA DEL ROTÁMETRO	VOLUMEN (ml)	TIEMPO (s)	PROMEDIO (VOLUMEN)	FLUJO (ml/s)
83	880 - 888	30	884.0	29.47
70	850 - 850	35	850.0	24.29
60	830 - 830	40	830.0	20.47
50	850 - 850	50	850.0	17.00
40	810 - 810	60	810.0	13.50
30	610 - 611	60	610.5	10.18
20	415 - 411	60	413.0	6.88
10	208 - 207	60	207.5	3.46
0	0 - 0		0.0	0.0

Partiendo de la tabla III-1, se obtiene la figura - III-2 de caudal ( $Q = \text{ml/s}$ ) contra lectura de rotámetro y en la cual con una simple lectura que hagamos en la gráfica podremos obtener el flujo de agua al que estamos trabajando.

Para mayor exactitud, se encontró la ecuación que rige esta recta, cuya forma es:  $y = mx + b$

Utilizando la tabla III-1, obtenemos los siguientes datos:

$$\text{Intersección} = b = 0.0$$

$$\text{Pendiente} = m = 0.3467$$

$$\text{Correlación} = 0.9998$$

Nuestra ecuación de flujo en función de la lectura del rotámetro es la siguiente:

$$Q = 0.3467 \cdot (R)$$

(III-1)

Donde:

$Q$  = Flujo de agua en ml/s .

$R$  = Lectura del Rotámetro .

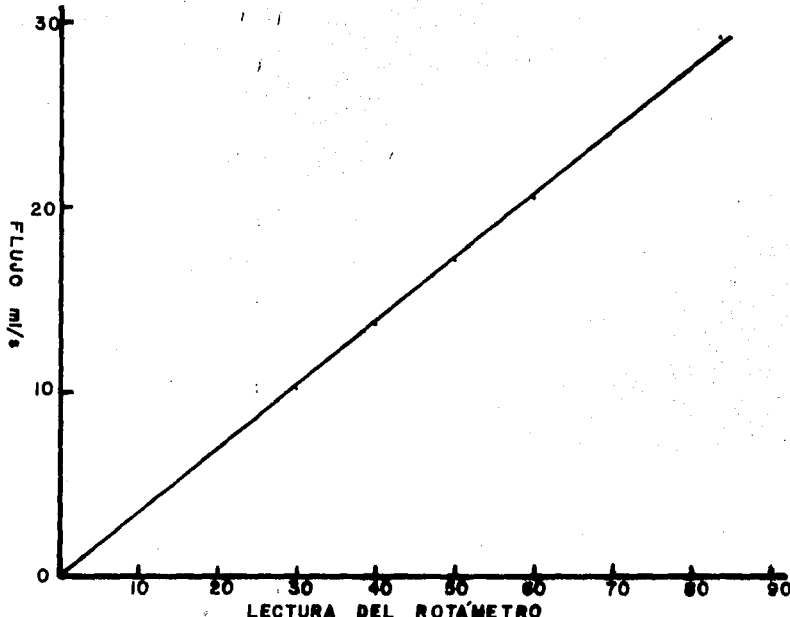


FIG. III-2 CALIBRACIÓN DEL MEDIDOR DE FLUJO DE AGUA

## APÉNDICE IV

PRUEBA DE KOLMOGOROV - SMIRNOV  
Y  
EJEMPLO DE CÁLCULOS REALIZADOS  
PARA EL TRATAMIENTO ESTADÍSTICO

## PRUEBA DE KOLMOGOROV - SMIRNOV.

En nuestro caso, esta prueba persigue dos objetivos:

a).- Saber si los datos obtenidos son consistentes, - ésto quiere decir que un experimento que se trabaje bajo las-mismas condiciones, nos dará los mismos resultados en cada réplica (Prueba Bimuestral).

b).- Comparación con el modelo teórico (Prueba para - Funciones de Distribución de Frecuencia (Bondad de Ajuste)).

Esta prueba se utiliza para distribuciones continuas. La hipótesis a probar es que cierta función  $F(X)$  es la función de distribución de una población de la que se tomaron como muestras:  $x_1, \dots, x_n$  valores.

La hipótesis nula es que  $F(X)m = F(X)$ , donde:  $F(X) = \int_0^x E\theta d\theta = \sum_{\theta} E\theta \Delta\theta$ , para el modelo teórico -

(IV-1)

$F(X)m = \sum_{\theta} E\theta \Delta\theta$ , promedio experimental para el modelo experimental

(IV-2)

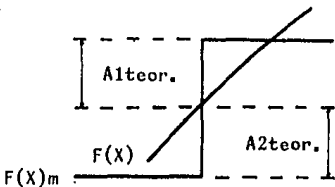
Para rechazar  $\delta$  no la hipótesis, se tiene que conocer qué tanto varía  $F(X)m$  de  $F(X)$ . Se busca una medida de desviación de  $F(X)m$  respecto a  $F(X)$ .

Se determina un número  $CF^0$ , si aparece una desviación mayor de  $CF^0$  se rechaza la hipótesis nula y si aparece una desviación menor de  $CF^0$ , no se rechaza.

Este número  $CF^0$  es encontrado en tablas estadísticas- para la prueba de Kolmogorov-Smirnov.

$F(X)m$  es una función escalonada,  $A1teor.$  y  $A2teor.$  - son las diferencias en el punto de discontinuidad entre  $F(X)m$  y  $F(X)$ . Ver figura IV-1

FIGURA IV - 1



Donde A1teor. y A2teor. se calculan de la siguiente manera:

$$A1teor. = F(X)_m - F(X) \quad (IV-3)$$

$$A2teor. = F(X)_m - F(X) (t - 1) \quad (IV-4)$$

El valor máximo de A1teor. y A2teor. se compara con el valor del número CF<sup>0</sup>.

#### PROCEDIMIENTO:

1).- Calcular los valores de F(X)<sub>m</sub> de  $t = t_1, \dots, t_n$ , de la siguiente forma:

$$F(X)_m = \sum_{\theta} Ee \Delta \theta, \text{ promedio experimental.}$$

2).- Calcular los valores de F(X), que es la función de distribución del modelo teórico de mezcla completa, de la forma:

$$F(X) = \int_{\theta}^{\theta} Ee d\theta.$$

3).- Determinar las desviaciones A1teor. y A2teor.

4).- Determinar la desviación máxima de A1teor. y A2teor. :  $A_{MAX} = \text{Valor máximo (A1teor. y A2teor.)}$

5).- Determinar el valor máximo permisible CF<sup>0</sup> para un tamaño de muestra y un nivel de significancia elegido (20%, 10%, 5%, 2%, 1%).

6).- Comparar con CF<sup>0</sup>, de tal forma que:

$A_{MAX} < CF^0$ , se acepta la hipótesis.

$A_{MAX} > CF^0$ , se rechaza la hipótesis.

Esta prueba también se utilizó para comparar dos distribuciones experimentales. A esta prueba se le conoce como-  
Prueba Bimuestral de Kolmogorov-Smirnov o simplemente Prueba de Smirnov. Las dos poblaciones deben ser continuas, pero se han tomado por intervalos para generar distribuciones escalonadas, sin que por ello pierdan su característica de continuidad.

La hipótesis nula es que  $F(X)_m = F(X)_i$ , donde  $F(X)_m$ -es la distribución de frecuencia acumulada, promedio de las dos réplicas y se calcula como ya se dijo anteriormente con la ecuación (IV-2).

$F(X)_i$  es la distribución de frecuencia acumulada de cualesquiera de las dos réplicas. Y se calcula de la forma:

$$F(X)_i = \sum_{\theta} E_{\theta} \Delta \theta, \text{ experimental para cada réplica.} \quad (IV-5)$$

Se hace el mismo procedimiento anterior, pero solo -se calcula un valor que corresponde a  $A_{teor}$ . y el valor máximo permisible  $CF$  para un nivel de significancia del 20% se calcula de la siguiente manera:

$$CF = 1.07 \sqrt{\frac{N}{m+n}} \quad (IV-6)$$

Donde:  $n$  = Número total de muestras de la réplica 1.

$m$  = Número total de muestras de la réplica 2.

$$N = n + m$$

EJEMPLO DE CÁLCULOS REALIZADOS Y TRATAMIENTO ESTADÍSTICO  
PARA CONSISTENCIA DE DATOS Y COMPARACIÓN CON EL MODELO  
TEÓRICO

SIMBOLOGIA:

- N : Número de muestra.
- teta : Medida adimensional ( $\theta$ ).
- TR : Lectura de la trasmisión de la réplica 1.
- TR' : Lectura de la trasmisión de la réplica 2.
- AB : Absorbancia de la réplica 1.
- AB' : Absorbancia de la réplica 2.
- E(teta) : E<sub>e</sub> experimental de la réplica 1.
- E(teta)' : E<sub>e</sub> experimental de la réplica 2.
- E(teta)m : E<sub>e</sub> promedio experimental de las dos réplicas.
- E(teta)t : E<sub>e</sub> teórico del modelo de mezcla completa.
- F(teta) : Frecuencia acumulada experimental de la réplica 1.
- F(teta)' : Frecuencia acumulada experimental de la réplica 2.
- F(teta)m : Frecuencia acumulada promedio experimental de - las dos réplicas.
- F(teta)teo : Frecuencia acumulada teórica del modelo de mezcla completa.
- A1cons : Diferencia entre F(teta) y F(teta)m.
- A1'cons : Diferencia entre F(teta)' y F(teta)m.
- A1teor. : Desviación para la prueba estadística de comparación con el modelo teórico.  
 $F(teta)teo - F(teta)m$ .

A <sub>2</sub> teor.	: Desviación para la prueba estadística de Comparación con el modelo teórico.
F(teta) <sub>m</sub> - F(teta) <sub>teo</sub> (t - 1)	
AGMAX	: Desviación máxima entre F(teta) <sub>m</sub> y F(teta).
AG'MAX	: Desviación máxima entre F(teta) <sub>m</sub> y F(teta)'.
AMAX	: Desviación máxima de A <sub>1</sub> teor. y A <sub>2</sub> teor. .
$\alpha$ C	: Nivel de significancia.
CF	: Valor estadístico máximo permisible para la prueba de Consistencia de Datos.
CF°	: Valor estadístico máximo permisible para la prueba de Comparación con el Modelo Teórico.

En la tabla IV-1 se muestran los cálculos correspondientes para la prueba de Consistencia de Datos.

En la tabla IV-2 se muestran los cálculos realizados para la prueba de Bondad de Ajuste de Comparación con el Modelo Teórico.

Todos los cálculos fueron realizados en un programa llamado "Hoja Electrónica de Trabajo" que es muy utilizado en contabilidad. La computadora donde se realizaron dichos cálculos, es un teclado y un procesador IBM PC, la pantalla es una PRINCETON GRAPHIC SYSTEMS (HX-12 PGS), y el impresor es un OKIDATA M93 MICROLINE.

Este programa trabaja como si fuera una calculadora.

**ESTA TESIS NO DEBE  
SALIR DE LA BIBLIOTECA**

TABLA IV - I

DATOS OBTENIDOS CON UN ÁNGULO DE 180 GRADOS DEL LA ALIMENTACIÓN CON RESPECTO A LA DESCARGA

N	VOLUMEN=	15.15 l	V <sub>o</sub> =0.836 l/min	T <sub>ao</sub> = 18.1340 min	Abs. pr. 0.8844	
teta	TR	TR'	AB	AB/E(teta) E(teta)/E(tetam) F(teta) F(teta)'/F(tetam) Ricons Alicons		
1	0.0000	100.0	100.0	0.0000	0.0000	0.0000 0.0000 0.0000 0.0000 0.0000
2	0.0184	11.5	12.5	0.9393	0.9031	1.0621 1.0211 1.0416 0.0098 0.0094 0.0096 0.0002 0.0002
3	0.0230	12.0	12.9	0.9208	0.8894	1.0412 1.0057 1.0235 0.0146 0.0141 0.0143 0.0003 0.0002
4	0.0276	12.0	13.0	0.9208	0.8861	1.0412 1.0019 1.0216 0.0194 0.0187 0.0190 0.0004 0.0003
5	0.0322	12.0	13.0	0.9208	0.8861	1.0412 1.0019 1.0216 0.0242 0.0233 0.0237 0.0005 0.0004
6	0.0368	12.5	13.3	0.9031	0.8761	1.0211 0.9906 1.0059 0.0289 0.0279 0.0284 0.0005 0.0004
7	0.0414	12.5	13.5	0.9031	0.8697	1.0211 0.9834 1.0023 0.0316 0.0324 0.0330 0.0006 0.0005
8	0.0460	13.0	13.5	0.8661	0.8697	1.0019 0.9834 0.9927 0.0363 0.0369 0.0376 0.0007 0.0007
9	0.0516	13.0	13.5	0.8661	0.8697	1.0019 0.9834 0.9927 0.0429 0.0414 0.0422 0.0007 0.0006
10	0.0531	12.5	14.0	0.9031	0.8539	1.0211 0.9655 0.9533 0.0475 0.0458 0.0467 0.0008 0.0009
11	0.0597	13.1	14.0	0.8827	0.8539	0.9981 0.9655 0.9818 0.0521 0.0502 0.0512 0.0009 0.0010
12	0.0643	13.1	14.3	0.8827	0.8447	0.9981 0.9651 0.9766 0.0567 0.0546 0.0557 0.0010 0.0011
13	0.0689	13.3	14.0	0.8761	0.8339	0.9906 0.9638 0.9781 0.0613 0.0590 0.0608 0.0011 0.0012
14	0.0781	13.5	14.3	0.8697	0.8447	0.9834 0.9651 0.9693 0.0704 0.0678 0.0692 0.0012 0.0014
15	0.0873	14.1	14.5	0.8500	0.8386	0.9620 0.9482 0.9581 0.0793 0.0766 0.0781 0.0012 0.0015
16	0.0965	14.5	15.0	0.8386	0.8239	0.9482 0.9316 0.9399 0.0881 0.0852 0.0868 0.0013 0.0016
17	0.1057	15.0	15.0	0.8239	0.8239	0.9316 0.9316 0.9316 0.0967 0.0938 0.0954 0.0013 0.0015
18	0.1149	15.3	15.5	0.8153	0.8097	0.9219 0.9135 0.9187 0.1052 0.1023 0.1039 0.0013 0.0016
19	0.1241	15.5	15.5	0.8097	0.8097	0.9155 0.9135 0.9185 0.1137 0.1107 0.1123 0.0014 0.0016
20	0.1333	16.0	16.0	0.7939	0.7939	0.8999 0.8799 0.8999 0.1221 0.1191 0.1207 0.0014 0.0016
21	0.1425	16.0	16.5	0.7939	0.7825	0.8993 0.8848 0.8924 0.1304 0.1273 0.1289 0.0015 0.0016
22	0.1516	16.5	17.5	0.7825	0.7570	0.8848 0.8539 0.8704 0.1385 0.1352 0.1369 0.0016 0.0017
23	0.1608	17.0	17.5	0.7696	0.7570	0.8702 0.8539 0.8631 0.1466 0.1431 0.1449 0.0017 0.0018
24	0.1700	17.0	17.5	0.7696	0.7570	0.8702 0.8539 0.8631 0.1546 0.1510 0.1528 0.0018 0.0018
25	0.1792	17.5	17.9	0.7570	0.7471	0.8539 0.8448 0.8504 0.1623 0.1588 0.1607 0.0018 0.0019
26	0.1930	17.9	18.2	0.7570	0.7393	0.8539 0.8366 0.8463 0.1743 0.1704 0.1724 0.0019 0.0020
27	0.2068	18.0	19.5	0.7447	0.7100	0.8489 0.8028 0.8224 0.1860 0.1617 0.1839 0.0021 0.0022
28	0.2206	18.5	19.0	0.7328	0.7212	0.8286 0.8155 0.8221 0.1975 0.1929 0.1952 0.0023 0.0023
29	0.2344	19.3	20.0	0.7144	0.6990	0.8078 0.7904 0.7991 0.2048 0.2040 0.2064 0.0024 0.0024
30	0.2482	19.3	20.5	0.7144	0.6882	0.8078 0.7792 0.7800 0.2199 0.2148 0.2174 0.0025 0.0025
31	0.2619	20.1	21.0	0.6958	0.6778	0.7879 0.7664 0.7772 0.2308 0.2254 0.2282 0.0026 0.0026
32	0.2757	20.9	21.0	0.6799	0.6778	0.7686 0.7564 0.7676 0.2415 0.2360 0.2389 0.0026 0.0026
33	0.2895	21.0	22.0	0.6778	0.6578	0.7664 0.7436 0.7530 0.2521 0.2464 0.2494 0.0027 0.0030
34	0.3033	21.5	22.5	0.6676	0.6478	0.7549 0.7325 0.7437 0.2626 0.2566 0.2597 0.0029 0.0031
35	0.3171	22.5	23.0	0.6478	0.6383	0.7325 0.7217 0.7271 0.2729 0.2666 0.2698 0.0031 0.0032
36	0.3309	23.0	23.1	0.6383	0.6364	0.7217 0.7136 0.7207 0.2829 0.2763 0.2798 0.0031 0.0032
37	0.3447	23.0	23.5	0.6383	0.6289	0.7217 0.7111 0.7164 0.2919 0.2864 0.2897 0.0032 0.0033
38	0.3585	23.6	25.0	0.5994	0.6081	0.6853 0.6508 0.6781 0.3120 0.3035 0.3068 0.0032 0.0033
39	0.3998	26.3	26.0	0.5800	0.5850	0.6338 0.6615 0.6387 0.3302 0.3240 0.3272 0.0030 0.0032

TABLA IV - 1  
(CONTINUACIÓN)

N	teta	TR	TR'	AB'	AB"	E(teta)	E(teta)'	E(teta)''	F(teta)	F(teta)'	F(teta)''	Ricons	R1'cons
40	0.4274	27.9	27.3	0.5696	0.5538	0.6429	0.6375	0.6402	0.3481	0.3419	0.3451	0.0030	0.0032
41	0.4549	28.0	26.5	0.5938	0.5758	0.6251	0.6322	0.6387	0.3633	0.3596	0.3627	0.0020	0.0031
42	0.4825	28.1	27.0	0.5924	0.5696	0.5998	0.6429	0.6183	0.3823	0.3775	0.3800	0.0023	0.0025
43	0.5101	29.9	28.0	0.5843	0.5528	0.5928	0.6251	0.6050	0.3986	0.3930	0.3982	0.0017	0.0019
44	0.5377	32.0	29.0	0.4949	0.3776	0.5026	0.6079	0.5838	0.4145	0.4120	0.4124	0.0011	0.0014
45	0.5653	32.0	31.0	0.4949	0.3046	0.5596	0.5751	0.3674	0.4299	0.4283	0.4298	0.0007	0.0009
46	0.5928	32.5	31.5	0.4981	0.3017	0.5519	0.5673	0.3596	0.4452	0.4441	0.4448	0.0004	0.0007
47	0.6204	35.0	32.5	0.4979	0.4681	0.5158	0.5519	0.5337	0.4599	0.4535	0.4599	0.0000	0.0004
48	0.6480	36.5	32.5	0.4877	0.4730	0.4949	0.5371	0.5160	0.4738	0.4745	0.4744	0.0006	0.0001
49	0.6755	37.0	34.5	0.4218	0.4529	0.4882	0.5226	0.5054	0.4873	0.4891	0.4884	0.0011	0.0007
50	0.7030	37.0	36.5	0.4092	0.4377	0.4623	0.4949	0.4716	0.5123	0.5172	0.5156	0.0021	0.0016
51	0.7305	41.5	39.5	0.3820	0.4034	0.4319	0.4861	0.4440	0.5381	0.5434	0.5478	0.0029	0.0024
52	0.7580	48.0	40.5	0.3768	0.3925	0.4651	0.4430	0.4350	0.5618	0.5682	0.5833	0.0035	0.0029
53	0.8961	44.1	43.5	0.3536	0.3615	0.4021	0.4068	0.4053	0.5846	0.5917	0.5985	0.0039	0.0032
54	0.9513	47.0	44.5	0.3279	0.3516	0.3708	0.3976	0.3842	0.6039	0.6140	0.6103	0.0044	0.0037
55	1.0064	47.0	46.3	0.3206	0.3344	0.3625	0.3781	0.3703	0.6261	0.6354	0.6311	0.0050	0.0043
56	1.0615	49.0	48.5	0.3098	0.3143	0.3703	0.3554	0.3529	0.6457	0.6536	0.6510	0.0053	0.0046
57	1.1167	52.0	51.0	0.2840	0.2984	0.3811	0.3306	0.3229	0.6642	0.6745	0.6697	0.0055	0.0048
58	1.1718	54.5	52.5	0.2636	0.2798	0.3981	0.3164	0.3073	0.6813	0.6983	0.6871	0.0058	0.0052
59	1.2270	54.3	54.3	0.2632	0.2632	0.2999	0.2999	0.2999	0.6978	0.7093	0.7037	0.0061	0.0054
60	1.2821	57.5	57.0	0.2403	0.2441	0.2717	0.2760	0.2739	0.7135	0.7252	0.7197	0.0062	0.0053
61	1.3373	58.5	58.5	0.2228	0.2328	0.2632	0.2632	0.2632	0.7283	0.7401	0.7345	0.0062	0.0056
62	1.3924	60.9	61.0	0.2154	0.2147	0.2436	0.2420	0.2432	0.7423	0.7540	0.7485	0.0062	0.0055
63	1.4476	62.0	62.0	0.2076	0.2076	0.2347	0.2347	0.2347	0.7535	0.7672	0.7617	0.0062	0.0055
64	1.7233	70.5	69.9	0.1516	0.1535	0.1716	0.1758	0.1737	0.8115	0.8238	0.8180	0.0055	0.0058
65	1.9990	76.0	76.5	0.1192	0.1163	0.1346	0.1315	0.1332	0.8537	0.8662	0.8603	0.0066	0.0059
66	2.2747	82.5	82.0	0.0835	0.0862	0.0944	0.0975	0.0960	0.8833	0.8978	0.8919	0.0066	0.0059
67	2.3505	85.9	86.0	0.0610	0.0653	0.0690	0.0741	0.0716	0.9078	0.9215	0.9156	0.0072	0.0065
68	2.8262	89.0	89.8	0.0504	0.0467	0.0572	0.0581	0.0556	0.9282	0.9390	0.9325	0.0073	0.0065
69	3.1019	91.3	91.9	0.0395	0.0367	0.0447	0.0415	0.0431	0.9332	0.9520	0.9460	0.0068	0.0060
70	3.3776	93.1	94.1	0.0311	0.0264	0.0352	0.0299	0.0326	0.9502	0.9618	0.9564	0.0062	0.0054
71	3.6534	95.0	95.3	0.0223	0.0209	0.0252	0.0236	0.0244	0.9585	0.9632	0.9643	0.0058	0.0049
72	3.9291	96.1	96.1	0.0173	0.0173	0.0196	0.0196	0.0196	0.9647	0.9752	0.9704	0.0057	0.0048
73	4.2048	97.0	97.1	0.0132	0.0128	0.0149	0.0145	0.0147	0.9695	0.9799	0.9751	0.0056	0.0048
74	4.4805	98.0	98.0	0.0088	0.0088	0.0100	0.0100	0.0100	0.9729	0.9833	0.9785	0.0056	0.0048
75	4.7563	98.0	98.2	0.0088	0.0079	0.0100	0.0089	0.0095	0.9757	0.9859	0.9812	0.0055	0.0047
76	5.0320	98.5	99.0	0.0056	0.0044	0.0075	0.0050	0.0053	0.9781	0.9878	0.9834	0.0053	0.0044

VALORES MÁXIMOS 0.0073 0.0065

A continuación se mostrarán las fórmulas utilizadas - para la prueba de Consistencia de Datos de la tabla IV-1.

$$AB = 2 - \log(TR) \quad (IV-7)$$

$$AB' = 2 - \log (TR') \quad (IV-8)$$

$$E(\text{teta}) = AB/\text{Abs.pr.} \quad (IV-9)$$

$$E(\text{teta}') = AB'/\text{Abs.pr.} \quad (IV-10)$$

$$E(\text{teta})_m = E(\text{teta}) + E(\text{teta})' / 2 \quad (IV-11)$$

$$F(\text{teta}) = \sum_{\theta} E_{\theta} \Delta \theta, \text{ réplica 1} \quad (IV-12)$$

$$F(\text{teta}') = \sum_{\theta} E_{\theta} \Delta \theta, \text{ réplica 2} \quad (IV-13)$$

$$F(\text{teta})_m = \sum_{\theta} E_{\theta} \Delta \theta, \text{ promedio de las dos réplicas} \quad (IV-14)$$

Observando las tablas IV-1 los valores máximos para - esta prueba estadística son los siguientes:

$$AGMAX = 0.0073$$

$$AG'MAX = 0.0065$$

De la ecuación IV-6

$$CF = 0.1736, \alpha = 20\%$$

$$0.0073, 0.0065 < 0.1736$$

Por lo tanto se concluye: La hipótesis nula no se rechaza, las curvas son iguales y los datos obtenidos experimentalmente son consistentes.

TABLA IV - 2

BÁTTER CONTENIDOS CON UN ÁNGULO DE 180° Sobrelos DEL LA ALIMENTACIÓN CON RESPECTO A LA DESCHARGE

VOLUMEN= 15.16 l V<sub>m</sub>=0.836 l/min T<sub>ad</sub>= 18.1340 min Abs. pr. 0.8844

N	E(totals)	E(totals)	F(totals)	F(totals)no	Altas.	R2totas
1	0.0000	1.0000	0.0000	0.0000	0.0000	
2	1.0416	0.9818	0.0096	0.0182	0.0086	0.0182
3	1.0235	0.9773	0.0143	0.0227	0.0084	0.0131
4	1.0216	0.9728	0.0190	0.0272	0.0082	0.0129
5	1.0216	0.9683	0.0237	0.0317	0.0080	0.0127
6	1.0059	0.9639	0.0284	0.0361	0.0077	0.0124
7	1.0023	0.9594	0.0330	0.0405	0.0075	0.0121
8	0.9927	0.9550	0.0376	0.0449	0.0073	0.0119
9	0.9927	0.9507	0.0422	0.0493	0.0071	0.0117
10	0.9933	0.9464	0.0467	0.0536	0.0069	0.0114
11	0.9818	0.9420	0.0512	0.0579	0.0067	0.0112
12	0.9766	0.9377	0.0557	0.0622	0.0065	0.0110
13	0.9781	0.9334	0.0602	0.0665	0.0063	0.0108
14	0.9653	0.9249	0.0632	0.0750	0.0058	0.0148
15	0.9591	0.9164	0.0781	0.0835	0.0054	0.0143
16	0.9399	0.9086	0.0868	0.0919	0.0051	0.0138
17	0.9316	0.8997	0.0954	0.1002	0.0048	0.0134
18	0.9187	0.8915	0.1039	0.1084	0.0045	0.0130
19	0.9185	0.8833	0.1123	0.1166	0.0043	0.0127
20	0.8999	0.8752	0.1207	0.1247	0.0040	0.0124
21	0.8924	0.8672	0.1289	0.1287	0.0038	0.0120
22	0.8704	0.8593	0.1369	0.1406	0.0037	0.0117
23	0.8631	0.8515	0.1449	0.1485	0.0036	0.0116
24	0.8631	0.8437	0.1528	0.1563	0.0035	0.0114
25	0.8504	0.8359	0.1607	0.1640	0.0033	0.0112
26	0.8463	0.8245	0.1724	0.1735	0.0031	0.0148
27	0.8224	0.8132	0.1839	0.1868	0.0029	0.0144
28	0.8221	0.8020	0.1952	0.1979	0.0027	0.0140
29	0.7991	0.7910	0.2064	0.2089	0.0025	0.0137
30	0.7930	0.7802	0.2174	0.2197	0.0023	0.0133
31	0.7772	0.7695	0.2282	0.2303	0.0021	0.0129
32	0.7676	0.7590	0.2389	0.2408	0.0019	0.0126
33	0.7550	0.7486	0.2494	0.2512	0.0018	0.0123
34	0.7437	0.7384	0.2597	0.2615	0.0018	0.0121
35	0.7271	0.7283	0.2698	0.2716	0.0018	0.0119
36	0.7207	0.7183	0.2799	0.2816	0.0018	0.0118
37	0.7164	0.7084	0.2897	0.2914	0.0017	0.0116
38	0.6731	0.6892	0.3088	0.3106	0.0018	0.0209
39	0.6587	0.6705	0.3272	0.3294	0.0022	0.0206

TABLA IV - 2  
(CONTINUACIÓN)

Nº	Efectivo	Efectivo	Ficticio	Ficticio	Altura.	Altura.
40	0.6402	0.6322	0.3451	0.3477	0.0026	0.0203
41	0.6387	0.6345	0.3627	0.3654	0.0027	0.0203
42	0.6163	0.6172	0.3800	0.3827	0.0027	0.0200
43	0.6090	0.6004	0.3969	0.3995	0.0028	0.0198
44	0.5838	0.5841	0.4134	0.4158	0.0024	0.0189
45	0.5679	0.5688	0.4292	0.4316	0.0024	0.0188
46	0.5596	0.5528	0.4448	0.4471	0.0023	0.0179
47	0.5337	0.5377	0.4599	0.4621	0.0022	0.0173
48	0.5160	0.5231	0.4744	0.4767	0.0023	0.0168
49	0.5034	0.5089	0.4884	0.4909	0.0023	0.0163
50	0.4785	0.4816	0.5136	0.5162	0.0028	0.0198
51	0.4440	0.4538	0.5410	0.5440	0.0030	0.0204
52	0.4350	0.4313	0.5653	0.5685	0.0032	0.0175
53	0.4055	0.4082	0.5885	0.5916	0.0031	0.0163
54	0.3842	0.3862	0.6103	0.6135	0.0032	0.0230
55	0.3703	0.3655	0.6311	0.6342	0.0031	0.0239
56	0.3529	0.3459	0.6510	0.6538	0.0028	0.0227
57	0.3229	0.3274	0.6697	0.6724	0.0027	0.0214
58	0.3073	0.3098	0.6871	0.6900	0.0029	0.0203
59	0.2999	0.2932	0.7039	0.7066	0.0027	0.0193
60	0.2739	0.2775	0.7197	0.7223	0.0026	0.0184
61	0.2632	0.2626	0.7343	0.7372	0.0027	0.0175
62	0.2432	0.2485	0.7485	0.7513	0.0028	0.0164
63	0.2347	0.2351	0.7617	0.7646	0.0029	0.0161
64	0.1737	0.1785	0.8180	0.8218	0.0036	0.0399
65	0.1332	0.1355	0.8603	0.8649	0.0046	0.0469
66	0.0960	0.1028	0.8919	0.8977	0.0058	0.0374
67	0.0716	0.0780	0.9150	0.9225	0.0076	0.0367
68	0.0530	0.0592	0.9325	0.9415	0.0090	0.0263
69	0.0431	0.0460	0.9460	0.9529	0.0099	0.0234
70	0.0328	0.0341	0.9564	0.9568	0.0104	0.0208
71	0.0244	0.0259	0.9643	0.9751	0.0108	0.0187
72	0.0196	0.0197	0.9704	0.9814	0.0110	0.0171
73	0.0147	0.0149	0.9751	0.9862	0.0111	0.0158
74	0.0100	0.0113	0.9785	0.9898	0.0113	0.0147
75	0.0093	0.0095	0.9812	0.9925	0.0113	0.0140
76	0.0063	0.0065	0.9834	0.9946	0.0112	0.0134

VALORES MAXIMOS 0.0113 - 0.0599

A continuación se mostraran los números que corresponden a las fórmulas utilizadas para la prueba de Bondad de Ajuste de la tabla IV-2:

$$E(\text{teta})_m \quad (\text{IV-11})$$

$$E(\text{teta})_t = e^{-(\text{teta})} \quad (\text{IV-15})$$

$$F(\text{teta})_{\text{teo}} \quad (\text{IV-1})$$

$$F(\text{teta})_m \quad (\text{IV-2})$$

$$A_{1\text{teor.}} \quad (\text{IV-3})$$

$$A_{2\text{teor.}} \quad (\text{IV-4})$$

De la tabla IV-2, los valores máximos de  $A_{1\text{teor.}}$  y  $A_{2\text{teor.}}$  son los siguientes:

$$A_{1\text{teor.}} = 0.0113 \quad A_{\text{MAX}} = 0.0599$$

$$A_{2\text{teor.}} = 0.0599$$

El valor  $CF^0$ , a diferentes niveles de significancia, se obtuvo de las tablas estadísticas para la prueba de Kolmogorov. Para una  $N = 152$  son los siguientes:

<u>NIVEL DE SIGNIFICANCIA</u>	<u><math>CF^0</math></u>
20 %	0.0868
10 %	0.0990
5 %	0.1103
2 %	0.1233
1 %	0.1322

Por lo tanto:

$$A_{\text{MAX}} < CF^0$$

Se acepta la hipótesis nula y las curvas son iguales para cualquier  $\alpha$  menor o igual al 20%.

## APÉNDICE V

### PRUEBA DE INTERVALO DE CONFIANZA PARA LA MEDIA

## PRUEBA DE INTERVALO DE CONFIANZA PARA LA MEDIA

Esta prueba persigue dos objetivos:

a).- Encontrar los límites de confiabilidad para la concentración promedio, ya que ésta es una representación de las obtenidas experimentalmente.

b).- Probar la consistencia del colorante al envejecimiento.

El procedimiento de determinar un intervalo que comprenda un parámetro de población ( $\mu$ ) con cierta probabilidad  $1-\alpha$ , se llama Estimación por Intervalos. Con estos intervalos se puede asegurar con un grado de certeza razonable que contienen el parámetro considerado.

$\alpha$  es la probabilidad de que el intervalo no incluya el verdadero valor del parámetro.

Los valores de las medias  $\bar{x}_1, \dots, \bar{x}_n$ , deben ser extraídas de una población que se distribuye normalmente.

Se hace la afirmación  $P(a < \mu < b) = 1 - \alpha$ , donde  $a$  y  $b$  se llaman respectivamente, límite inferior y límite superior del intervalo. El intervalo  $(a, b)$  se llama Intervalo de Confianza;  $b-a$  es una medida de la precisión de la estimación y  $1-\alpha$  es una medida de su fiabilidad.

La expresión general para el Intervalo de Confianza para la Media de una población  $\mu$  es la siguiente:

$$P(\bar{x} - t' \cdot S/\sqrt{n} \leq \mu \leq \bar{x} + t' \cdot S/\sqrt{n}) = 1 - \alpha \quad (V-1)$$

Donde:

$$\bar{x} - t' \cdot S/\sqrt{n} = \text{Límite inferior, } a,$$

$$\bar{x} + t' \cdot S/\sqrt{n} = \text{Límite superior, } b.$$

$\bar{X}$  = Media muestral.

$S$  = Desviación típica,

$n'$  = Tamaño de la muestra,

$t'$  = Es un valor de una variable aleatoria que sigue la Distribución t de Student, con  $n-1$  grados de libertad y se encuentra en tablas estadísticas a diferentes niveles de confianza (99%, 98%, 95%, etc.).

#### PROCEDIMIENTO:

1).- Calcular la media  $\bar{X}$  de la muestra  $X_1, \dots, X_n$ , de la siguiente manera:

$$\bar{X} = (X_1 + X_2 + \dots + X_n) / n' \quad (V-2)$$

2).- Calcular la desviación típica  $S$  de la muestra de la siguiente forma:

$$S = \sqrt{\frac{1}{n'} \sum_{i=1}^n (X_i - \bar{X})^2 / (n' - 1)} \quad (V-3)$$

3).- Determinar el valor  $t'$  a un nivel de confianza es elegido, con  $n-1$  grados de libertad, usando la tabla correspondiente.

4).- Calcular el valor de los límites superior e inferior de la siguiente forma:

$$a = \bar{X} - t' \cdot S / \sqrt{n'} \quad (V-4)$$

$$b = \bar{X} + t' \cdot S / \sqrt{n'} \quad (V-5)$$

5).- Determinar el intervalo de confianza:

$$a \leq \mu \leq b$$

6).- Comparar las concentraciones promedio obtenidas experimentalmente con el intervalo de confianza.

EJEMPLO DE CÁLCULOS REALIZADOS PARA LA PRUEBA DE  
CONSISTENCIA DEL VALOR PROMEDIO.

DATOS OBTENIDOS EXPERIMENTALMENTE:

<u>ALIMENTACIÓN</u>	<u>CONC. PROMEDIO (ABSORBANCIA)</u>
0°	0.8852
45°	0.9314
90°	0.8596
135°	0.8852
180°	0.8724
225°	0.9042
270°	0.8852
315°	0.8991

$$\bar{x} = 0.8903$$

$$S = 0.0217$$

$$t'(99.8\%) \text{, con } 7 \text{ grados de libertad} = 4.79$$

$$a = 0.8536$$

$$b = 0.9270$$

$$\text{INTERVALO DE CONFIANZA: } 0.8536 \leq \mu \leq 0.9270$$

Se puede observar que un valor de las concentraciones promedio, queda fuera del rango del intervalo de confianza. El valor que sale de este intervalo es 0.9314, que corresponde a la alimentación de 45° con un error mínimo respecto al límite superior y ésto se debe a un error experimental al inyectar el colorante, por eso hay variación en las concentraciones promedio.

Se anula este valor y se encuentra un nuevo intervalo

lo de confianza con los siguientes valores:

$$\bar{X} = 0.8844$$

$$S = 0.0151$$

$$t'(99.8\%), \text{ con } 6 \text{ grados de libertad} = 5.21$$

$$a = 0.8547$$

$$b = 0.9141$$

INTERVALO DE CONFIANZA:  $0.8547 \leq \mu \leq 0.9141$

Con este nuevo intervalo los valores obtenidos experimentalmente se encuentran dentro del rango establecido y la concentración promedio que se utilizó para este estudio es una representación de todas ellas.

Se puede afirmar que este intervalo es confiable un 99.8%; esto es, tenemos una probabilidad de 0.998, de que las muestras obtenidas experimentalmente bajo las mismas condiciones de operación caigan en este intervalo y la solución del trazador es consistente.

Ya que estas determinaciones de absorbancia promedio fueron hechas en diversas fechas y no muestran una tendencia definida al cambio, sino simplemente errores aleatorios, se confirma que el trazador no envejeció.